

2.4. 地下水分析結果

ボーリング孔中の地下水を深度別（深度 10m、20m、30m）に採取し、地下水中のジフェニルアルシン酸（DPAA）を分析した。

なお、採水時期は、ボーリング調査実施直後（初期）2004年夏季（7～8月）、2004年秋季（10～11月）、2005年冬季（2～3月）、2005年春季（4～5月）、2005年夏季（7～8月）、2005年秋季（10～11月）、2006年（1～3月）、2006年春季（4～5月）、2006年夏季（7～8月）、2006年秋季（10～12月）、2007年冬季（1～3月）、2007年春季（4月）、2007年夏季（7月）、2007年秋季（10～11月）、2008年冬季（1～2月）、2008年春季（4月）、2008年夏季（7月）、2008年秋季（10月）、2009年冬季（1～2月）、2009年春季（5月）、2009年夏季（8月）、2009年秋季（11月）、2010年冬季（2月）、2010年春季（5月）、2010年夏季（7～8月）、2010年秋季（11月）、2011年冬季（1～2月）、2011年春季（5月）、2011年夏季（8月）、2011年秋季（10～11月）、2012年冬季（1～2月）、2012年春季（5月）、2012年夏季（7～8月）、2012年秋季（10～11月）、2013年冬季（2月）、2013年春季（5月）の37時期である。

2004年夏季以前のボーリング掘削時の地下水 DPAA 分析結果については、参考表 2.4.1、参考表 2.4.2、参考表 2.4.3 に一覧として示す。また、2004年夏季以降の結果は、時期毎に、参考表 2.4.4～参考表 2.4.39 として地下水分析結果一覧、参考図 2.4.1～参考図 2.4.108 として地下水 DPAA 汚染状況図（A 井戸周辺、B 地区、AB トラックの範囲毎に）を示す。なお、値はすべてヒ素換算値とした。

モニタリング開始当初の 2004 年夏季は DPAA 濃度は最大で 151mg-As/L であり、また汚染範囲は AB トラックに限られていたが、2005 年冬季頃より、徐々に AB トラック南西地域まで汚染が広がった。その後、高濃度汚染対策終了後の 2013 年春季では、汚染範囲は A 井戸周辺から AB トラック南西地域までであるものの、DPAA の最大濃度は 3.1mg-As/L まで低下している。

参考表2.4.1 A井戸周辺地下水DPAA分析結果一覽表

< A井戸北部地域 > 単位: $\mu\text{g-As/L}$

観測井番号	48	51	50	27	155	156	40	47	A	20	24	89	25	35	36	49	44	45	53
2.0				N.D.															
3.8																			
4.2																			
4.6																			
4.8																			
5.0																			
6.0																			
6.3				N.D.	3					1		240							
7.0										3									
8.0										4									
8.8																			
9.0										3									
9.2																			
9.4				3															
9.6																			
9.8																			
10.0				110															
10.0	96	N.D.	N.D.	4	N.D.	2	57	N.D.		4	N.D.	510		N.D.	9	N.D.		N.D.	N.D.
11.0										4									
11.3										4									
12.0										5									
13.0										3									
13.8																			
14.0										11									
14.2																			
14.4				3															
14.5										7									
14.6																			
14.8																			
15.0				1100						7	N.D.								
15.0	100	N.D.	N.D.	3	N.D.	2	180	N.D.	49	N.D.	N.D.	1000		N.D.	15	N.D.		N.D.	N.D.
15.5										7									
16.0										7									
16.3																			
16.5										8									
17.0										8									
17.5										9									
18.0										10									
18.8																			
19.2																			
19.4				3															
19.6																			
19.8																			
20.0				1400															
20.0	120	N.D.	N.D.	19	8	4	600	N.D.			N.D.	1400			44	N.D.	N.D.	N.D.	N.D.
21.0																			
21.3																			
21.4																			
23.8																			
24.0																			
24.2																			
24.4				4															
24.8																			
25.0				1500															
25.0	130	N.D.	N.D.	240	5800	5	690	N.D.				2800			69	N.D.	N.D.	N.D.	
26.0																			
26.3																			
28.0																			
28.8																			
29.0																			
29.4				9															
30.0				1700															
30.0	120	N.D.	N.D.	450	8700	5		N.D.				3900							
34.4				17															
35.0				1700															
35.0	110			530															
40.0				970															

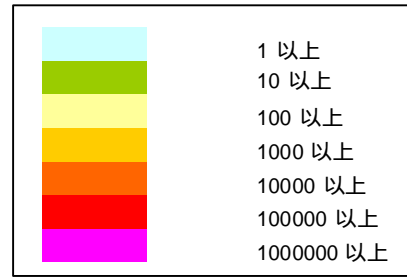
1	1 以上
10	10 以上
100	100 以上
1000	1000 以上
10000	10000 以上
100000	100000 以上
1000000	1000000 以上

< A井戸南部地域 > 単位: $\mu\text{g-As/L}$

観測井番号	30	28	31	41	75	76	29	78	79	80	39	90	77	14	158	81	6	159	7	34	42	38	8	70	68	13	74	71	160	37	72	73	69	43	161	182	52	
2.0				N.D.																																		
3.8																																						
4.2																																						
4.6																																						
4.8																																						
5.0				160																																		
6.0																																						
6.0																																						
6.3																																						
6.3																																						
7.0																																						
7.0																																						
8.0																																						
8.0																																						
8.8																																						
8.8																																						
9.0																																						
9.0																																						
9.2																																						
9.2																																						
9.4																																						
9.4																																						
9.6																																						
9.6																																						
9.8																																						
9.8																																						
10.0																																						
10.0																																						
10.0																																						
10.0																																						
11.0																																						
11.0																																						

参考表2.4.2 掘削調査地点周辺地下水DPAA分析結果一覧表

単位: $\mu\text{g-As/L}$



番号	99	87	105	106	46	112	113	119	120	126	127	133	134	82	140	146	147
2.0																	
5.0																	
6.0		24										4100	1500	65	13	24	5
6.6					56												
8.0	8		3500	8		32	100	12	120	48	31	3500	1200		19	73	2
10.0	870	92	6800	6200	4700	34	550	330	290	61	250	3600	1600	170	63	130	2
11.6					10												
15.0		87			7200									100			
16.6					35												
20.0		84			8200									130			
21.6					140												
24.0																	
24.2																	
24.4																	
24.8																	
25.0		120			8800									170			
26.6					220												
28.0																	
29.0																	
30.0		140												190			

番号	91	33	94	95	88	98	100	104	107	111	86	114	118	121	125	128	132	135	139	141	145	148	152	32	153	
2.0																										
5.0																										
6.0					49																					
6.6																										
8.0	4		4	14		21	19	21	10	36	21	43	400	13000	6400	800	150	46	900	700	200	88			18	
10.0	31	100	7	13	52	91	23	28	17	75	32	250	290	390	9100	5300	1200	410	86	730	630	180	63	40	10	
11.6																										
15.0		93			46					200															38	
16.6																										
20.0		120			52					260															39	
21.6																										
24.0		130																								
24.2																										
24.4																										
24.8																										
25.0					53					250															38	
26.6																										
28.0					60																					
29.0																										
30.0										290																

番号	101	103	108	185	110	115	117	122	124	83	129	131	136	138	142	144	149	
2.0																		
5.0																		
6.0										110000	33000	15000	710	1900	1500	180	1500	2000
6.6																		
8.0	490	49	1900	6700	41000	2500	8600	680	120000	35000	14000	740	1500	1400	180	1400	1900	
10.0	9900	130	1400	22000	73000	2700	12000	700	110000	33000	11000	750	1500	1300	190	400	690	
11.6																		
15.0									35000	28000								
16.6																		
20.0									32000	24000								
21.6																		
24.0																		
24.2																		
24.4																		
24.8																		
25.0									3100	26000								
26.6																		
28.0																		
29.0																		
30.0									14000									

番号	92	93	96	97	102	183	109	184	84	186	116	123	130	137	143	150	151	154	
2.0																			
5.0																			
6.0									4400				160	610	160		7	5	7
6.6																			
8.0	N.D.	6	7	42	11	110	120000	410		16000	2900	62000	270	650	100		8	3	8
10.0	N.D.	7	34	34	17	91	110000	740	610	24000	3300	60000	770	480	110		8	4	10
11.6																			
15.0									550										
16.6																			
20.0									370										
21.6																			
24.0																			
24.2																			
24.4																			
24.8																			
25.0									240										
26.6																			
28.0																			
29.0																			
30.0									190										

参考表2.4.3 B地区及びAB間地下水DPAA分析結果一覧表

B地区 地下水中DPAA濃度

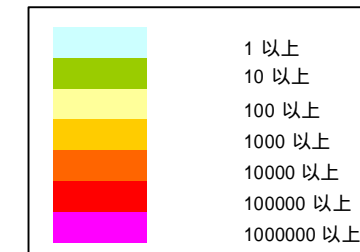
単位: µg-As/L

観測井番号	60	67	66	162	173	163	59	54	166	165	61	169	170	167	57	164	171	172	168	58	64	65	62	63		
5.0 m																									N.D.	
6.0 m	N.D.	N.D.	N.D.	10	N.D.		N.D.	N.D.		N.D.	N.D.	N.D.	2	N.D.	N.D.	5	N.D.									
7.0 m						N.D.			N.D.																	
10.0 m								63																		
	N.D.	N.D.	N.D.	37	N.D.	N.D.	N.D.	N.D.	N.D.	19	N.D.	N.D.	370	N.D.	N.D.	4	N.D.									
15.0 m								72																		
	N.D.	N.D.	N.D.	170	N.D.	6	2	N.D.	N.D.	71	N.D.	30	450	N.D.	N.D.	3	2	N.D.								
20.0 m								9																		
	N.D.	N.D.	N.D.	140	8	40	12	38	14	79	N.D.	120	400	5	N.D.	3	15	N.D.	2	N.D.	3	1	N.D.	N.D.		
25.0 m								88																		
	N.D.	N.D.	N.D.	160	12	160	20	73	26	87	N.D.	140	350	16	N.D.	3	27	N.D.	12	1	7	6	N.D.	N.D.		
28.0 m																										
29.0 m																										
	N.D.							110								7										
30.0 m																										
	N.D.	N.D.		160	20	270	24	94	37	120	13	140	240	34			30	N.D.	23		22	10	N.D.	N.D.		
35.0 m																										
	N.D.																									

AB中間地区 地下水中DPAA濃度

単位: µg-As/L

観測井番号	174	175	55	178	177	176	56	179	181	180
6.0 m	N.D.	N.D.	2	N.D.						
10.0 m	N.D.	N.D.	30	N.D.	N.D.	57	N.D.	N.D.	N.D.	N.D.
15.0 m	3	N.D.	60	N.D.	N.D.		N.D.	N.D.	N.D.	11
20.0 m	9	N.D.	57	N.D.	N.D.		2	N.D.	100	97
25.0 m	14	N.D.	56	N.D.	3		8	N.D.	33	130
29.0 m				N.D.			25			
30.0 m	30	N.D.	48		40			N.D.	120	160
35.0 m			59							



参考表2.4.4 2004年夏季(7~8月)地下水分析結果一覽表

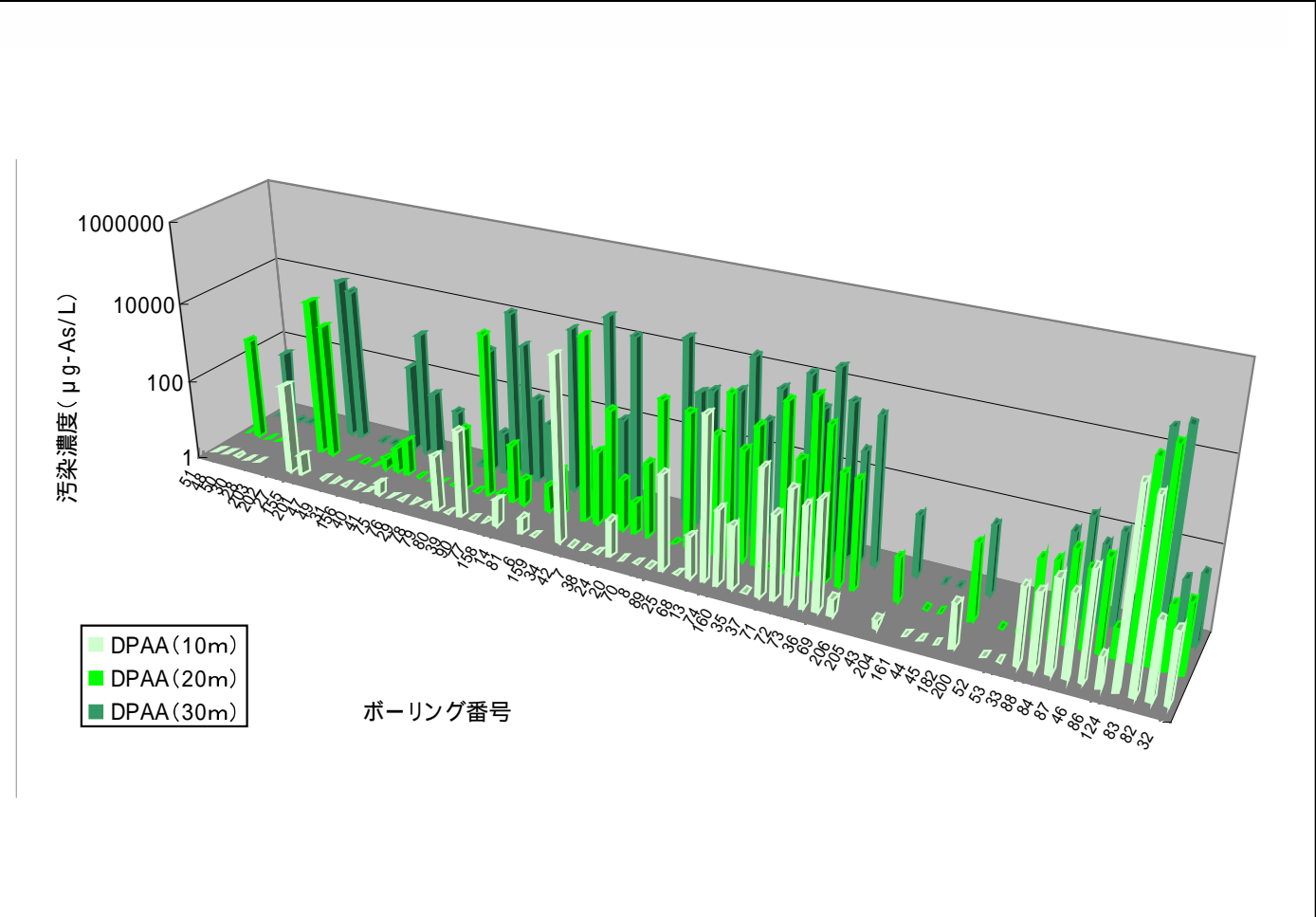
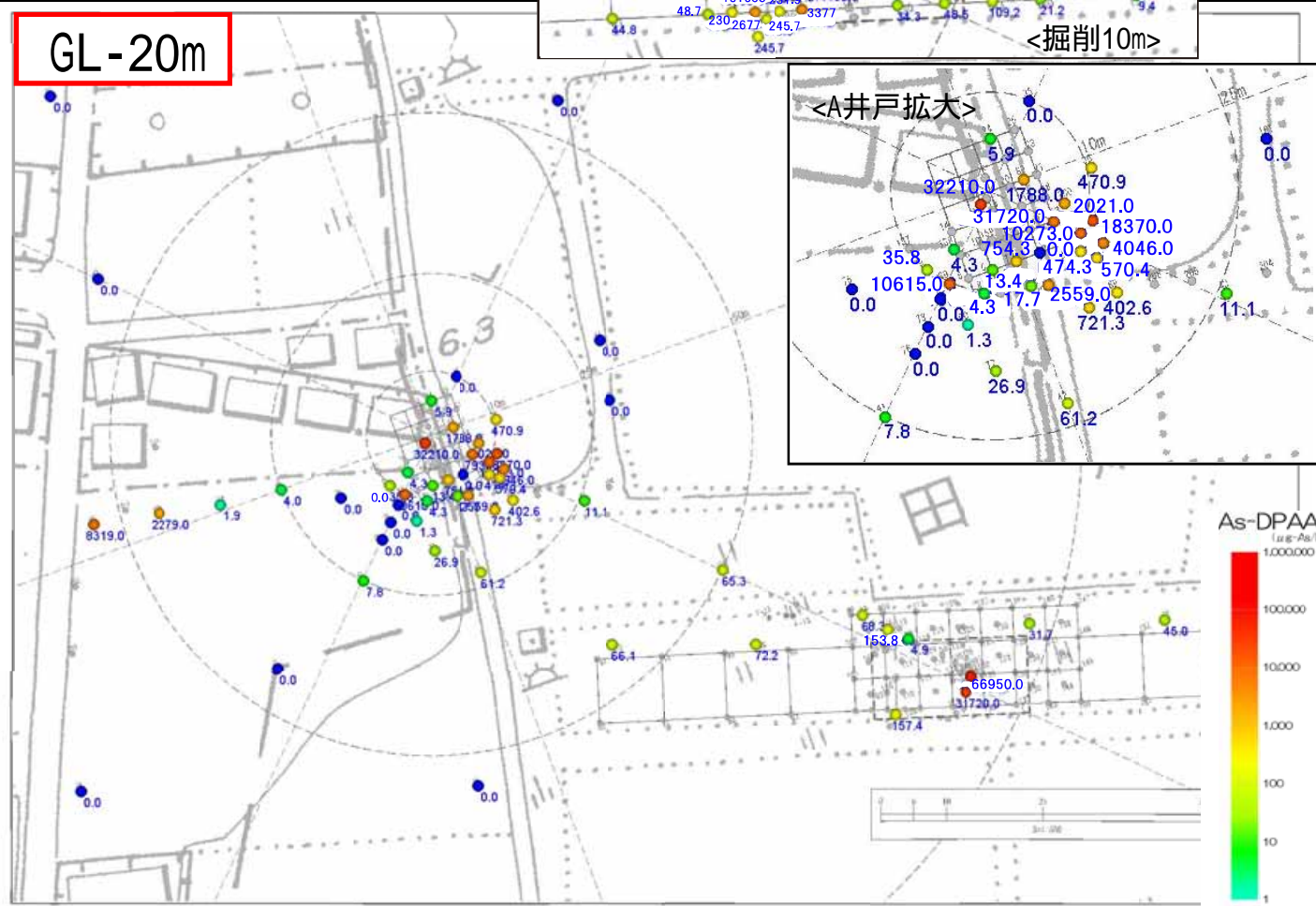
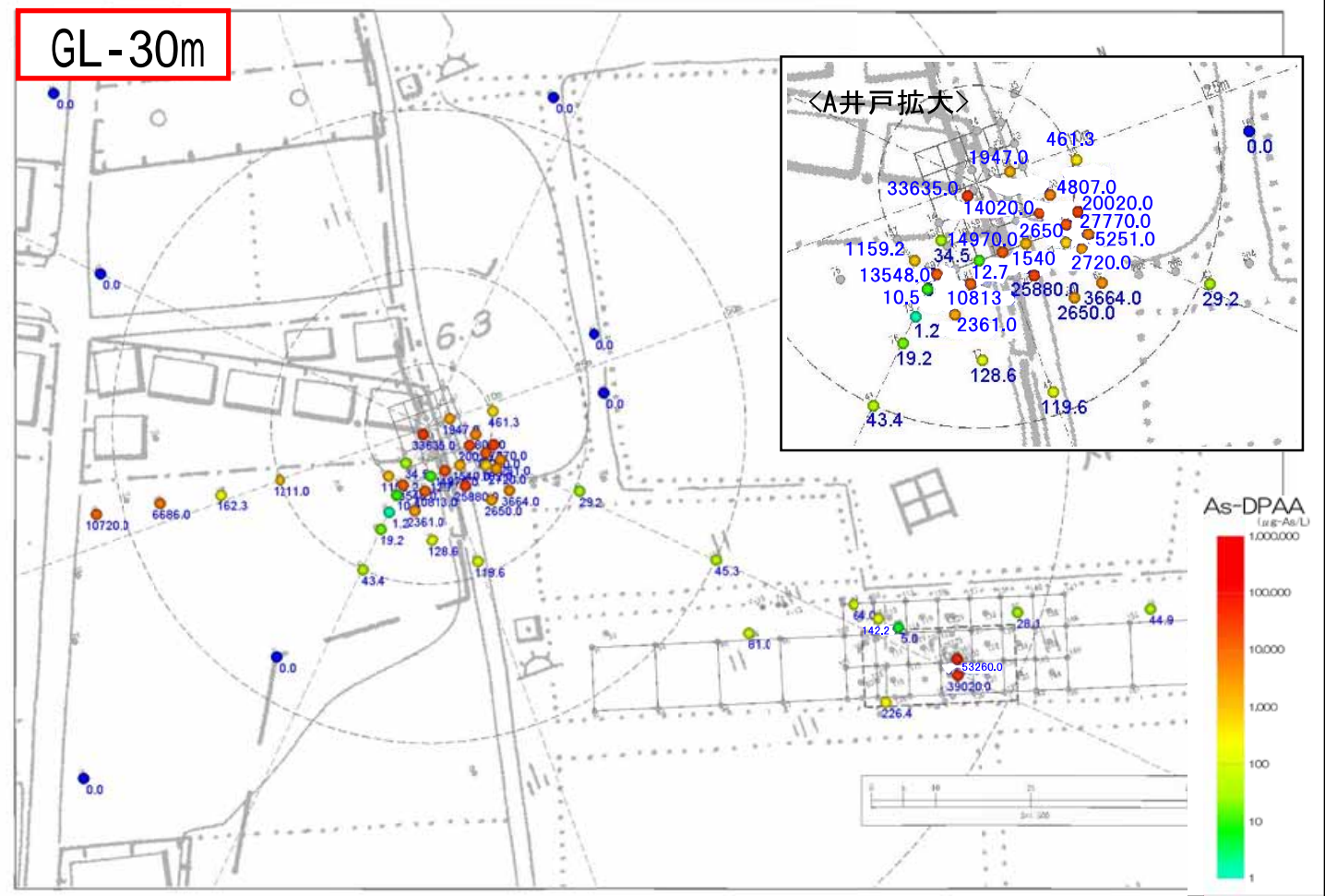
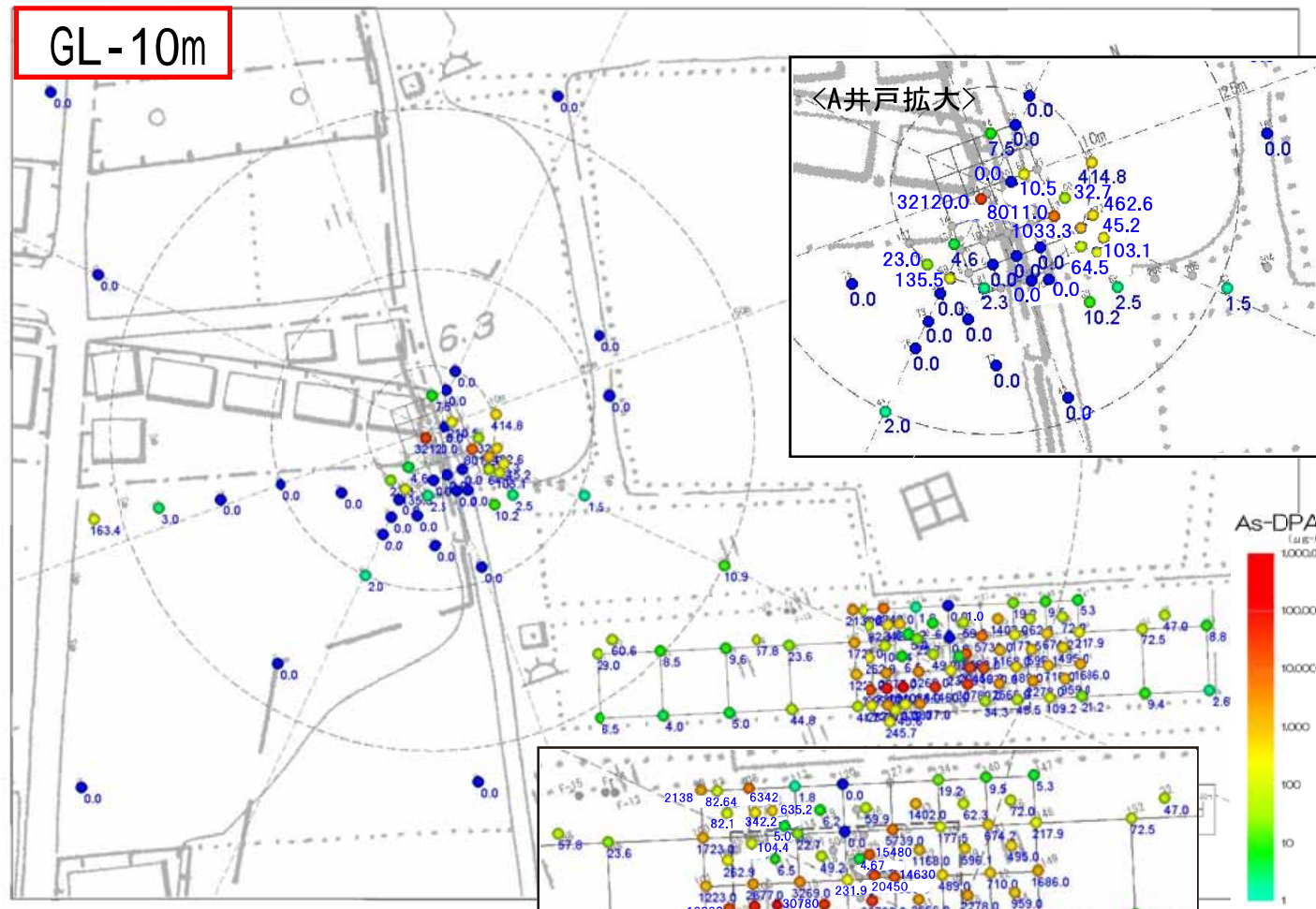
地点番号	地区	深度(m)	採水日	DPAA
65	B	10	8月26日	ND.
65	B	20	8月26日	ND.
65	B	30	8月26日	12.99
66	B	10	8月27日	2660
66	B	20	8月27日	811.5
66	B	29	8月27日	740.3
57	B	10	8月26日	ND.
57	B	20	8月26日	ND.
57	B	26	8月26日	ND.
64	B	10	8月27日	ND.
64	B	20	8月27日	ND.
64	B	30	8月27日	54.35
173	B	10	8月31日	27.5
173	B	20	8月31日	287.5
173	B	30	8月31日	357.3
190	B	10	ND.	ND.
172	B	10	8月27日	ND.
172	B	20	8月27日	ND.
172	B	29	8月27日	23.35
188	B	10	ND.	1.45
188	B	15	ND.	ND.
169	B	10	8月27日	ND.
169	B	20	8月27日	5.11
169	B	30	8月27日	50.27
189	B	10	ND.	ND.
189	B	15	ND.	ND.
67	B	10	8月30日	ND.
67	B	20	8月30日	ND.
67	B	30	8月30日	ND.
170	B	10	8月27日	ND.
170	B	20	8月27日	2.57
170	B	30	8月27日	71.54
187	B	10	ND.	ND.
187	B	15	ND.	ND.
58	B	10	8月27日	151.9
58	B	20	8月27日	292.9
58	B	29	8月27日	176
171	B	10	8月27日	ND.
171	B	20	8月27日	10.9
171	B	30	8月27日	84.35
54	B	10	8月30日	ND.
54	B	20	8月30日	1.7
54	B	30	8月30日	76.41
191	B	10	ND.	ND.
191	B	15	ND.	ND.
168	B	10	8月27日	ND.
168	B	20	8月27日	1.8
168	B	29	8月27日	21.58
165	B	10	8月30日	ND.
165	B	20	8月30日	67.97
167	B	10	8月31日	ND.
167	B	20	8月31日	ND.
167	B	30	8月31日	6.81
162	B	10	8月30日	ND.
162	B	20	8月30日	48.45
162	B	30	8月30日	443.2
63	B	10	8月26日	ND.
63	B	20	8月26日	ND.
63	B	30	8月26日	ND.
192	B	10	ND.	ND.
192	B	15	ND.	ND.
163	B	10	8月30日	1.34
163	B	20	8月30日	524.8
163	B	29	8月30日	551.4
164	B	10	8月27日	ND.
164	B	20	8月27日	1.13
164	B	29	8月27日	12.2
62	B	10	8月26日	ND.
62	B	20	8月26日	ND.
62	B	29	8月26日	ND.
60	B	10	8月25日	ND.
60	B	20	8月25日	ND.
60	B	30	8月25日	ND.
59	B	10	8月25日	ND.
59	B	20	8月25日	301.3
59	B	30	8月25日	92.8
61	B	10	8月25日	ND.
61	B	20	8月25日	ND.
61	B	28	8月25日	ND.
174	AB	10	8月30日	ND.
174	AB	20	8月30日	1.01
174	AB	30	8月30日	55.66
175	AB	10	8月26日	ND.
175	AB	20	8月26日	ND.
175	AB	30	8月26日	ND.
55	AB	10	8月26日	ND.
55	AB	20	8月26日	19.93
55	AB	30	8月26日	35.13
178	AB	10	8月18日	ND.
178	AB	20	8月18日	ND.
178	AB	28	8月18日	ND.
177	AB	10	8月25日	648.4
177	AB	20	8月25日	762.3
177	AB	30	8月25日	878
176	AB	10	8月18日	ND.
179	AB	10	8月26日	ND.
179	AB	20	8月26日	ND.
179	AB	30	8月26日	ND.
56	AB	10	8月25日	3.54
56	AB	20	8月25日	718.7
56	AB	29	8月25日	805.6
181	AB	10	8月18日	ND.
181	AB	20	8月18日	25.96
181	AB	30	8月18日	1477
180	AB	10	8月18日	ND.
180	AB	20	8月18日	ND.
180	AB	29	8月18日	41.85
51	A	10	8月26日	ND.
51	A	20	8月26日	ND.
51	A	30	8月26日	ND.

地点番号	地区	深度(m)	採水日	DPAA
48	A	10	8月26日	ND.
48	A	20	8月26日	362.2
48	A	30	8月26日	55.76
50	A	10	8月26日	ND.
50	A	20	8月26日	ND.
50	A	30	8月26日	ND.
30	A	10	8月30日	ND.
30	A	20	8月30日	ND.
30	A	26	8月30日	ND.
28	A	10	8月25日	ND.
28	A	20	8月25日	ND.
28	A	30	8月25日	ND.
27	A	10	8月25日	163.36
27	A	20	8月25日	8319
27	A	30	8月25日	107.20
155	A	10	8月24日	3.05
155	A	20	8月24日	2279
155	A	30	8月24日	6886
47	A	10	8月26日	ND.
47	A	20	8月26日	ND.
47	A	30	8月26日	ND.
49	A	10	8月30日	ND.
49	A	20	8月30日	ND.
49	A	28	8月30日	ND.
31	A	10	8月3日	ND.
31	A	20	8月3日	ND.
31	A	29	8月3日	ND.
156	A	10	8月24日	ND.
156	A	20	8月24日	1.85
156	A	30	8月24日	16.23
40	A	10	8月24日	ND.
40	A	20	8月24日	4.04
40	A	27	8月24日	12.11
41	A	10	8月24日	2.01
41	A	20	8月24日	7.85
41	A	30	8月24日	43.39
75	A	10	8月24日	ND.
75	A	20	8月24日	ND.
76	A	10	8月24日	ND.
76	A	20	8月24日	ND.
76	A	30	8月24日	19.24
29	A	10	8月3日	ND.
29	A	20	8月3日	ND.
29	A	28	8月3日	ND.
78	A	10	8月24日	ND.
78	A	20	8月24日	ND.
78	A	28	8月24日	1.2
79	A	10	8月24日	23.27
79	A	20	8月24日	35.83
79	A	30	8月24日	1159.2
80	A	10	8月24日	ND.
80	A	20	8月24日	ND.
80	A	29	8月24日	10.51
39	A	10	8月24日	135.5
39	A	20	8月24日	1061.5
39	A	30	8月24日	135.48
90	A	10	8月23日	ND.
90	A	20	8月23日	1.28
90	A	30	8月23日	2361
77	A	10	8月23日	ND.
77	A	20	8月23日	26.86
77	A	28	8月23日	128.58
158	A	10	8月24日	4.63
158	A	20	8月24日	4.3
158	A	28	8月24日	34.49
81	A	10	8月23日	2.25
81	A	20	8月23日	4.3
81	A	29	8月23日	108.13
6	A	10	8月23日	ND.
6	A	20	8月23日	13.43
6	A	30	8月23日	12.68
34	A	10	8月25日	322.10
34	A	20	8月25日	336.35
34	A	26	8月25日	336.35
42	A	10	8月25日	61.2
42	A	20	8月25日	119.58
42	A	26	8月25日	119.58
7	A	10	8月23日	754.3
7	A	20	8月23日	14970
38	A	10	8月23日	ND.
38	A	20	8月23日	17.68
24	A	10	8月18日	7.52
24	A	20	8月18日	5.93
20	A	10	8月23日	ND.
20	A	16	8月23日	66.23
70	A	10	8月10日	ND.
70	A	20	8月10日	2559
70	A	30	8月10日	25880
8	A	10	8月18日	ND.
8	A	20	8月18日	ND.
8	A	28	8月18日	1540
89	A	10	8月23日	210.5
89	A	20	8月23日	1788
89	A	29	8月23日	1947
25	A	10	8月18日	ND.
68	A	10	8月17日	10.15
68	A	20	8月17日	721.3
68	A	30	8月17日	2650
13	A	10	8月18日	8011
13	A	20	8月18日	7936
13	A	30	8月18日	20020
74	A	10	8月17日	64.49
74	A	20	8月17日	474.3
74	A	30	8月17日	702
160	A	10	8月18日	32.71
160	A	20	8月18日	2021
160	A	30	8月18日	4807
35	A	10	8月18日	ND.
35	A	20	8月18日	ND.
37	A	10	8月18日	10333
37	A	20	8月18日	10273
37	A	24	8月18日	14020

地点番号	地区	深度(m)	採水日	DPAA
71	A	10	8月18日	103.14
71	A	20	8月18日	570.4
71	A	30	8月18日	2720
72	A	10	8月18日	482.6
72	A	20	8月18日	18370
72	A	30	8月18日	27770
73	A	10	8月18日	245.2
73	A	20	8月18日	4946
73	A	30	8月18日	5251
36	A	10	8月18日	414.8
36	A	20	8月18日	470.9
36	A	25	8月18日	461.3
69	A	10	8月18日	2.52
69	A	20	8月18日	402.6
69	A	30	8月18日	3664
43	A	10	8月23日	1.54
43	A	20	8月23日	11.1
43	A	25	8月23日	29.17
161	A	10	8月23日	ND.
161	A	20	8月23日	ND.
161	A	29	8月23日	ND.
44	A	10	8月23日	ND.
44	A	20	8月23日	ND.
44	A	26	8月23日	ND.
45	A	10	8月23日	ND.
45	A	20	8月23日	ND.
45	A	27	8月23日	ND.
182	A	10	7月29日	10.89
182	A	20	7月29日	65.28
182	A	30	7月29日	45.25
52	A	10	8月30日	ND.
52	A	20	8月30日	ND.
53	A	10	8月31日	ND.
92	G	10	7月27日	6.48
91	G	10	7月27日	29.03
33	G	10	7月28日	60.56
33	G	20	7月28日	66.14
93	G	10	7月27日	4.05
94	G	10	7月27日	8.48
96	G	10	7月27日	4.98
95	G	10	7月27日	9.57
88	G	10	7月28日	57.78
88	G	20	7月28日	72.24
88	G	26	7月28日	81.01
97	G	10	7月27日	44.79
98	G	10	7月27日	23.6
102	G	10	7月27日	48.69
101	G	10	7月27日	1223
104	G	10	7月27日	262.9
109	G	10	7月27日	2370
185	G	10	7月27日	73020
84	G	10	7月28日	145.6
84	G	20	7月28日	157.4
84	G	30	7月28日	226.4
87	G	10	7月28日	82.64
87	G	20	7月28日	68.34
87	G	29	7月28日	64.04
105	G	10	7月27日	82.12
108	G	10	7月27日	2677
186	G	10	7月27日	230
107	G	10	7月27日	104.4
110	G	10	7月27日	151088</

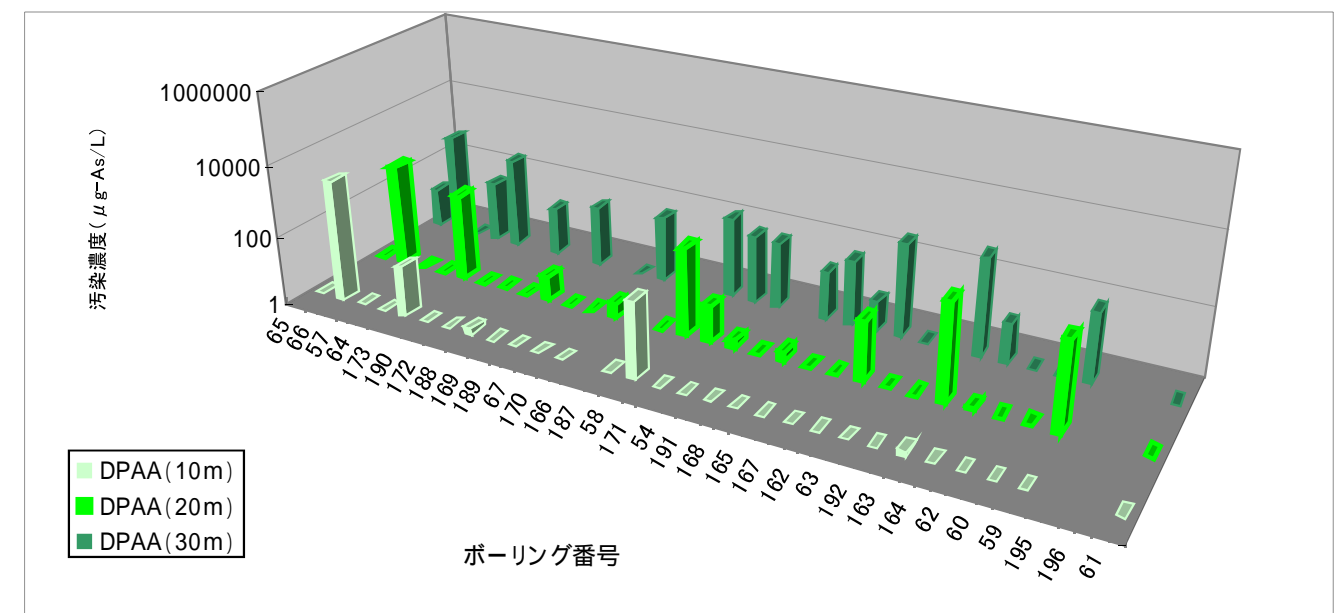
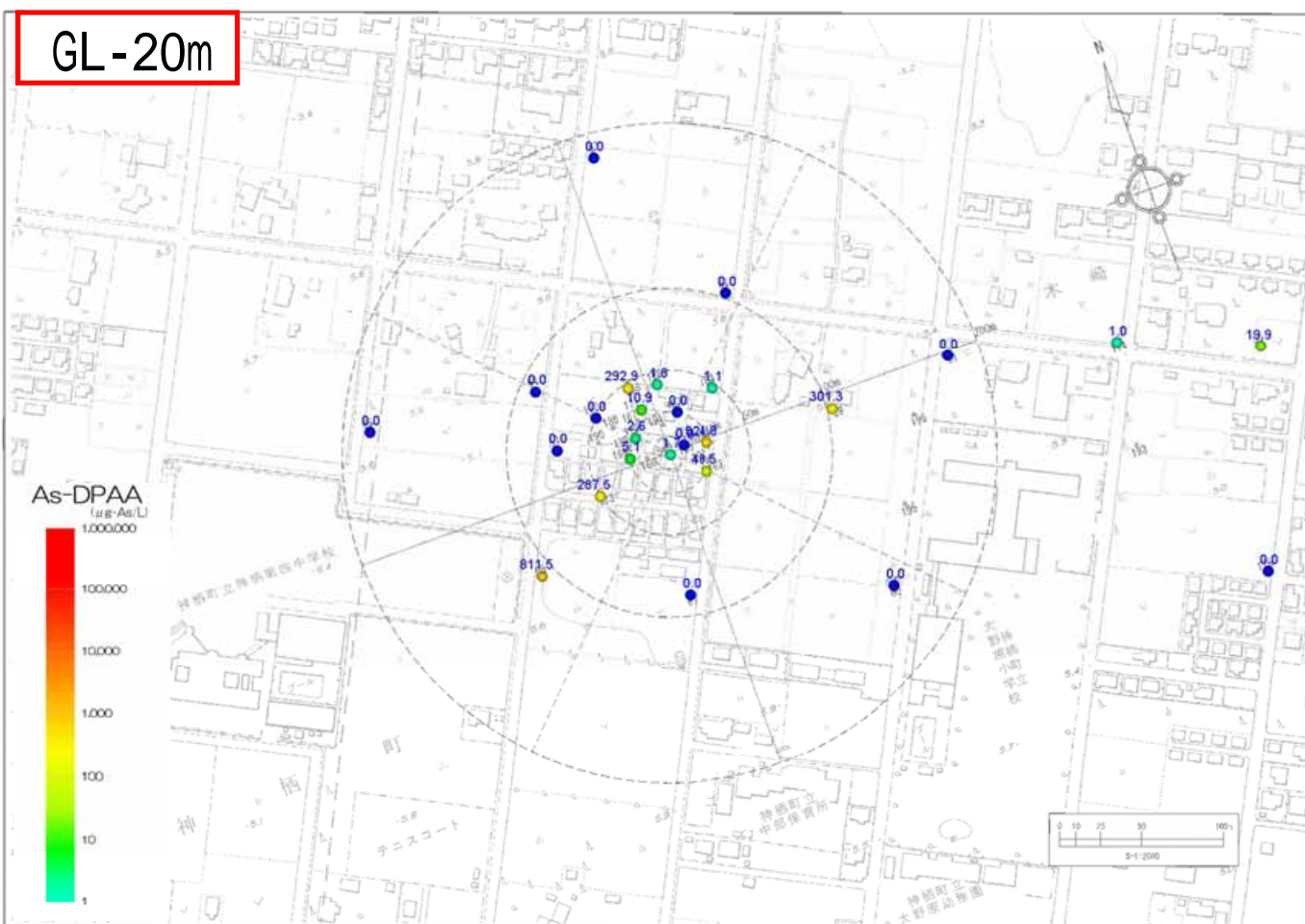
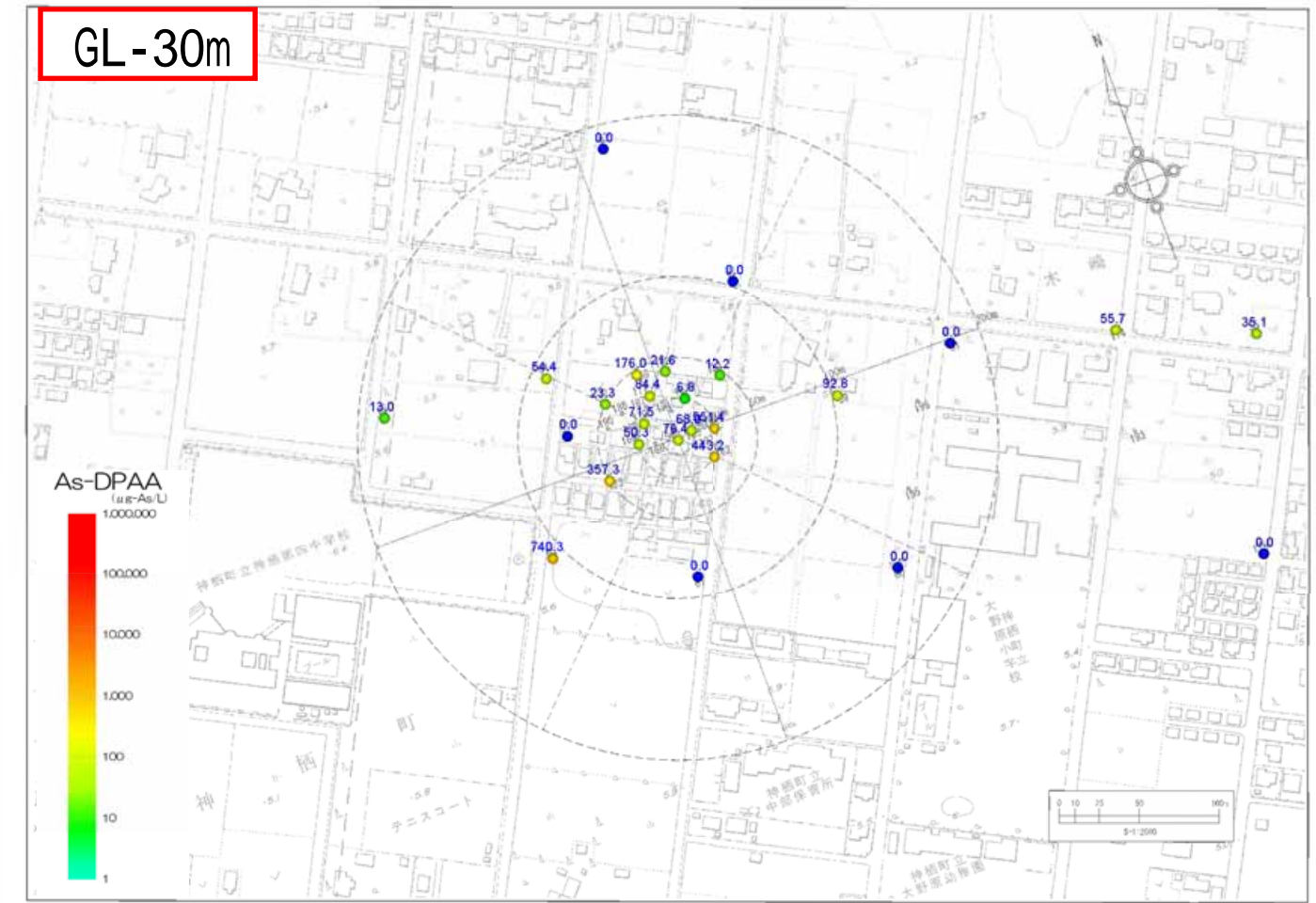
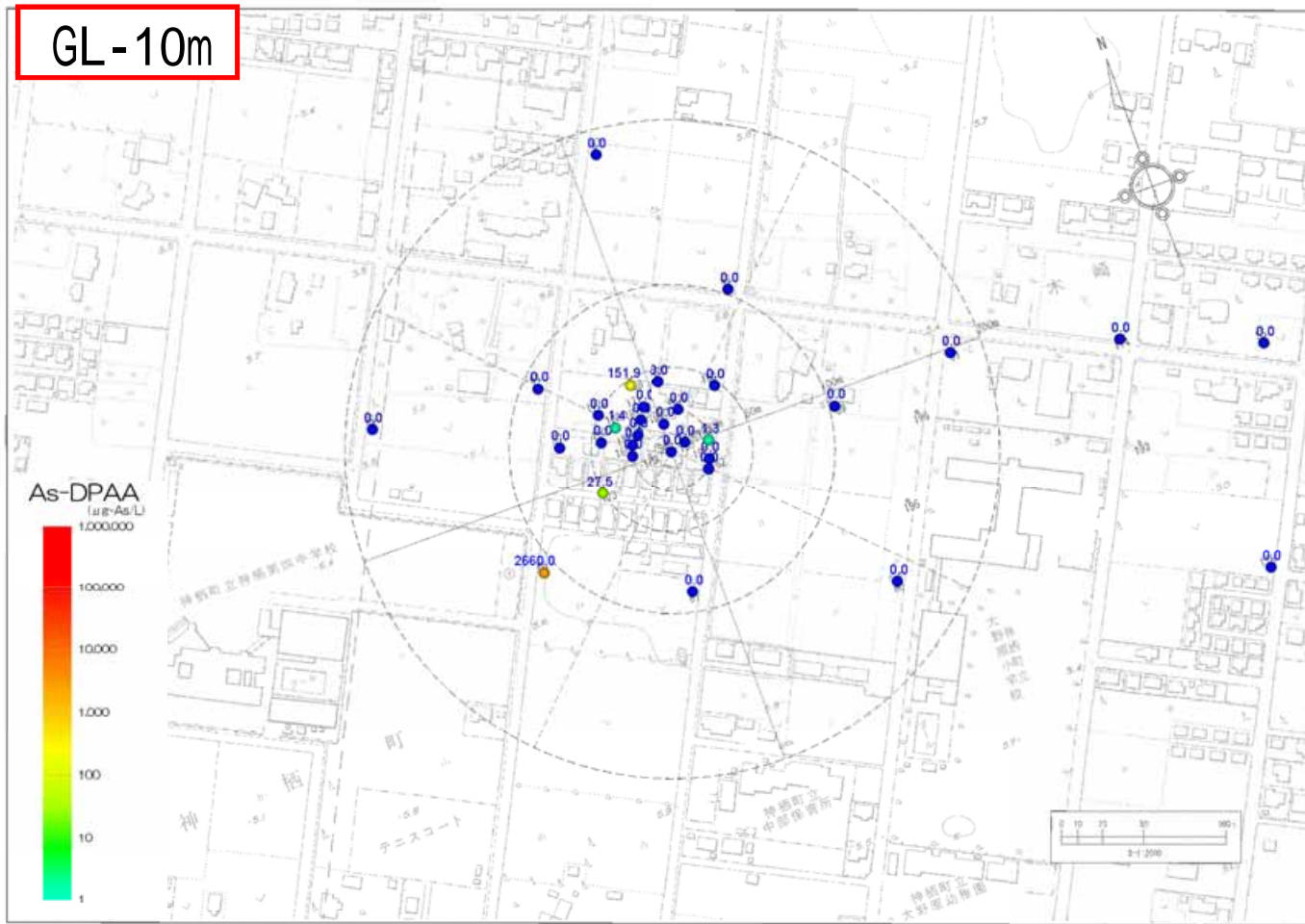
参考図2.4.1 2004年夏季(7~8月)A井戸周辺地下水DPAA汚染状況図

単位: $\mu\text{g-As/L}$



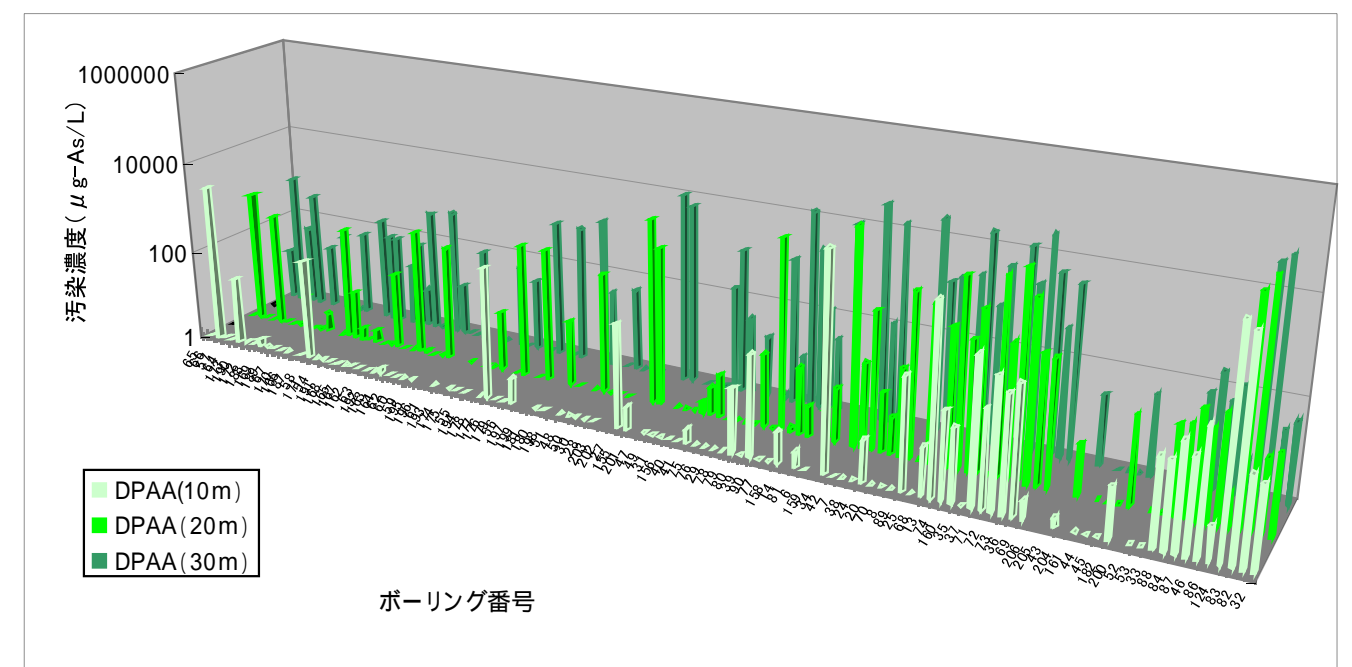
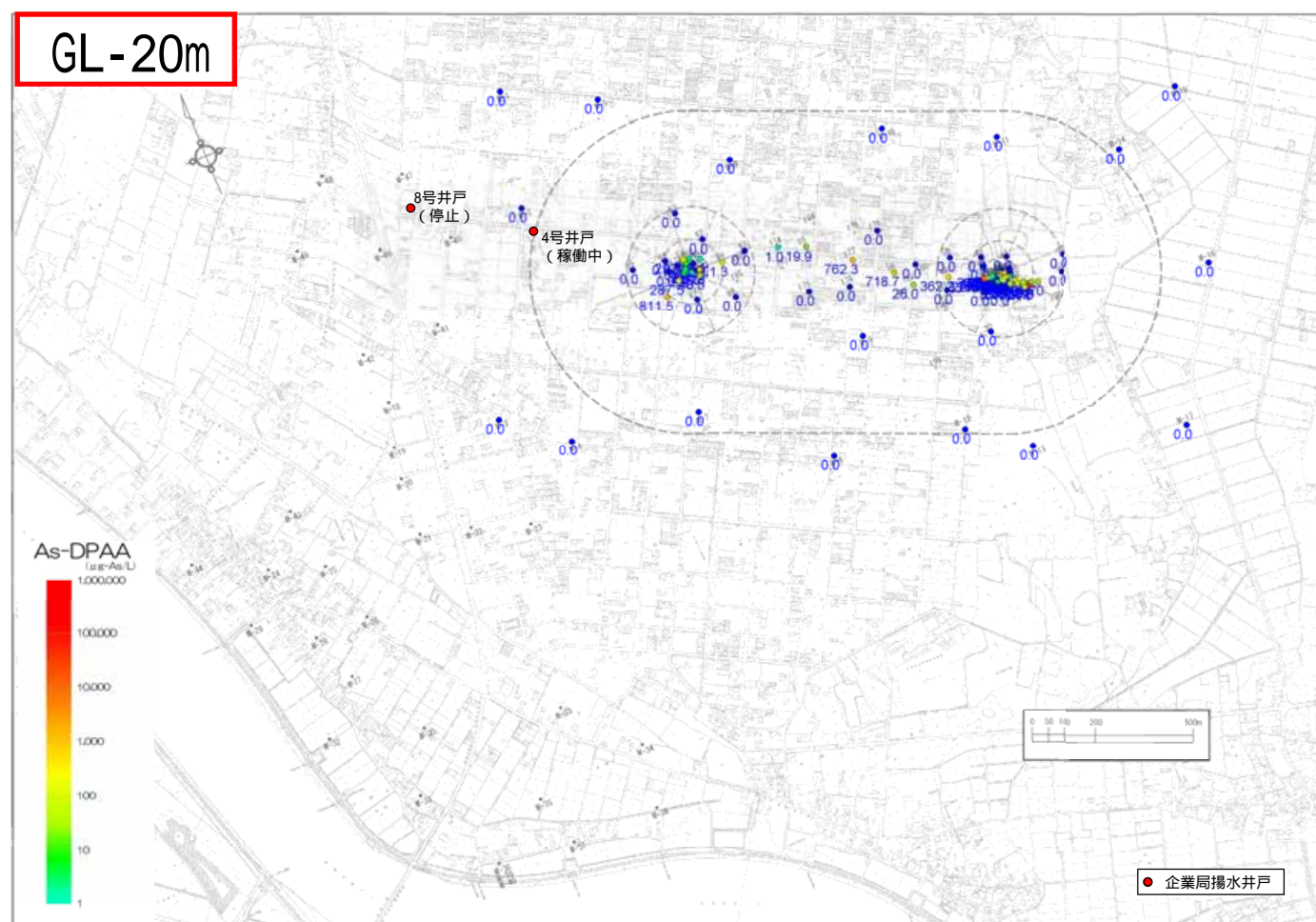
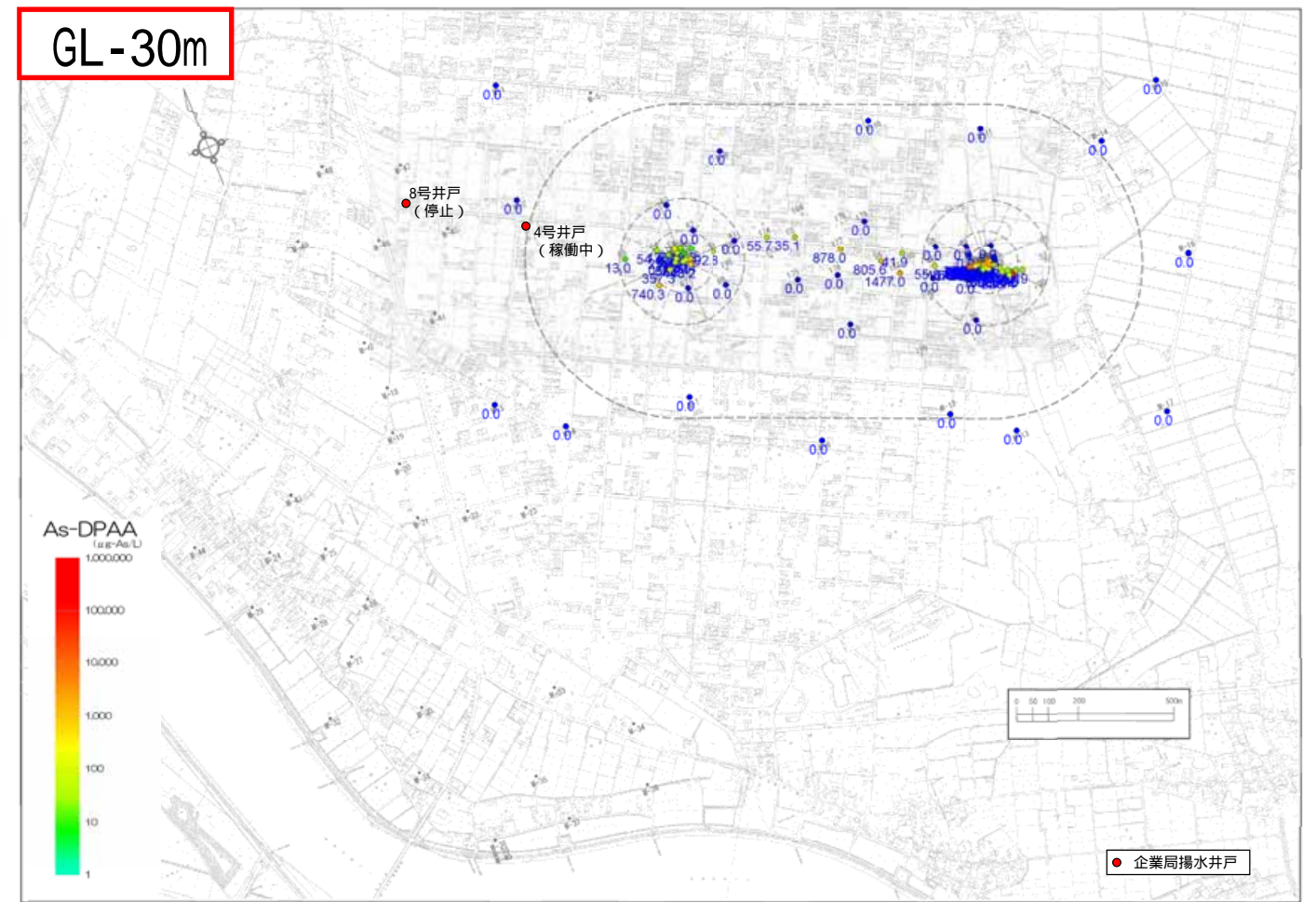
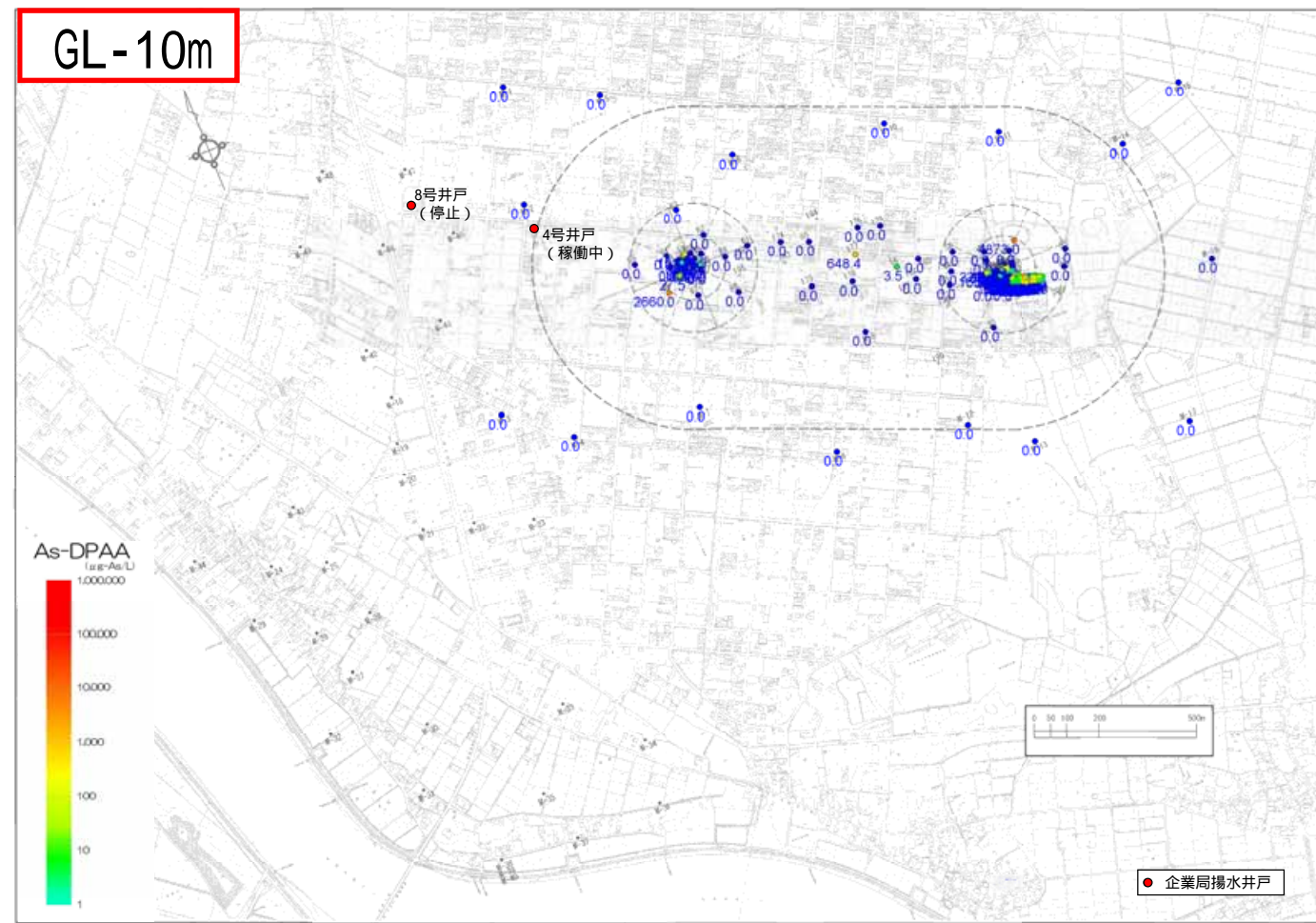
参考図2.4.2 2004年夏季(7~8月)B地区地下水DPAA汚染状況図

単位: $\mu\text{g-As/L}$



参考図2.4.3 2004年夏季(7~8月)ABトラック地下水DPAA汚染状況図

単位: $\mu\text{g-As/L}$



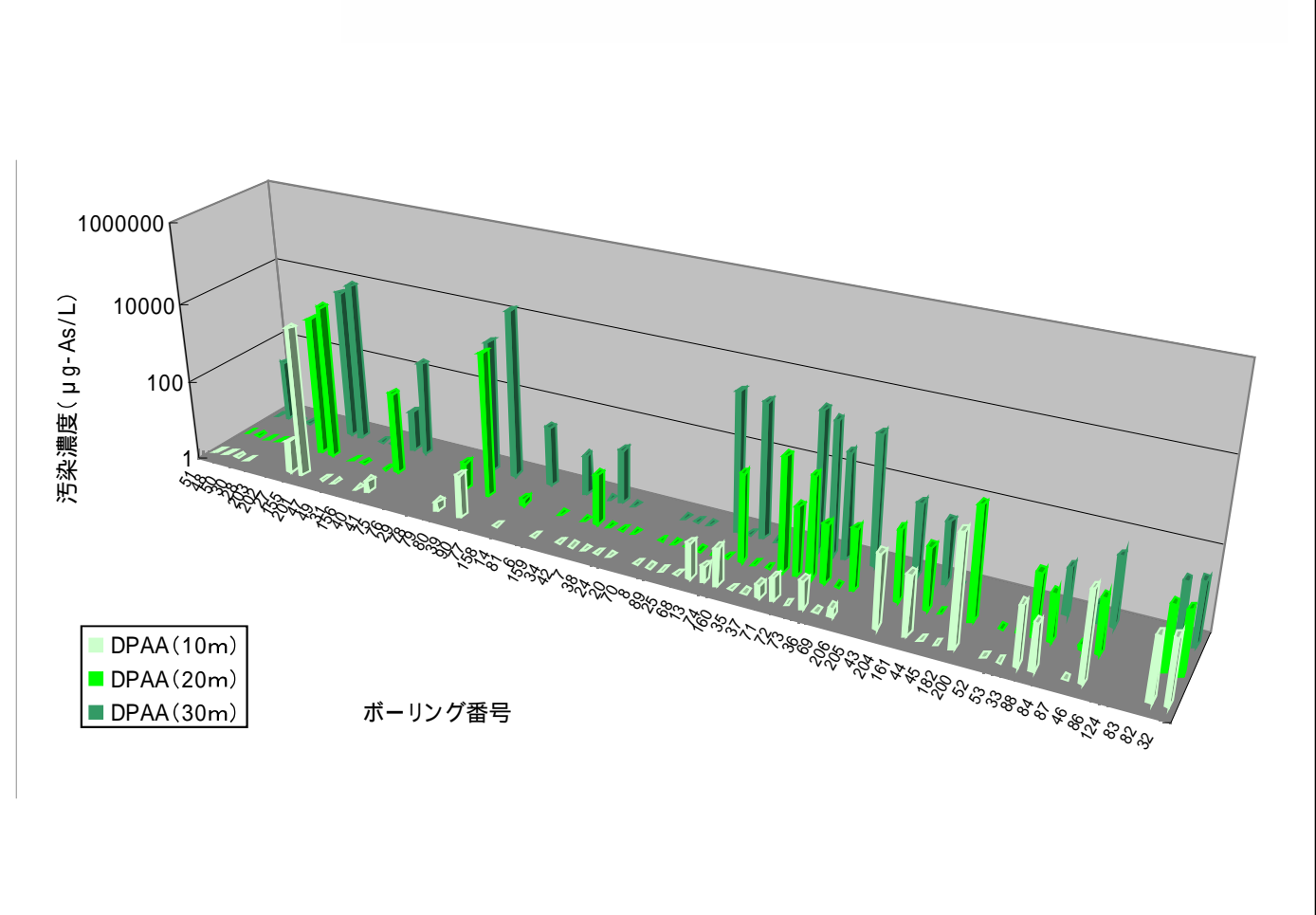
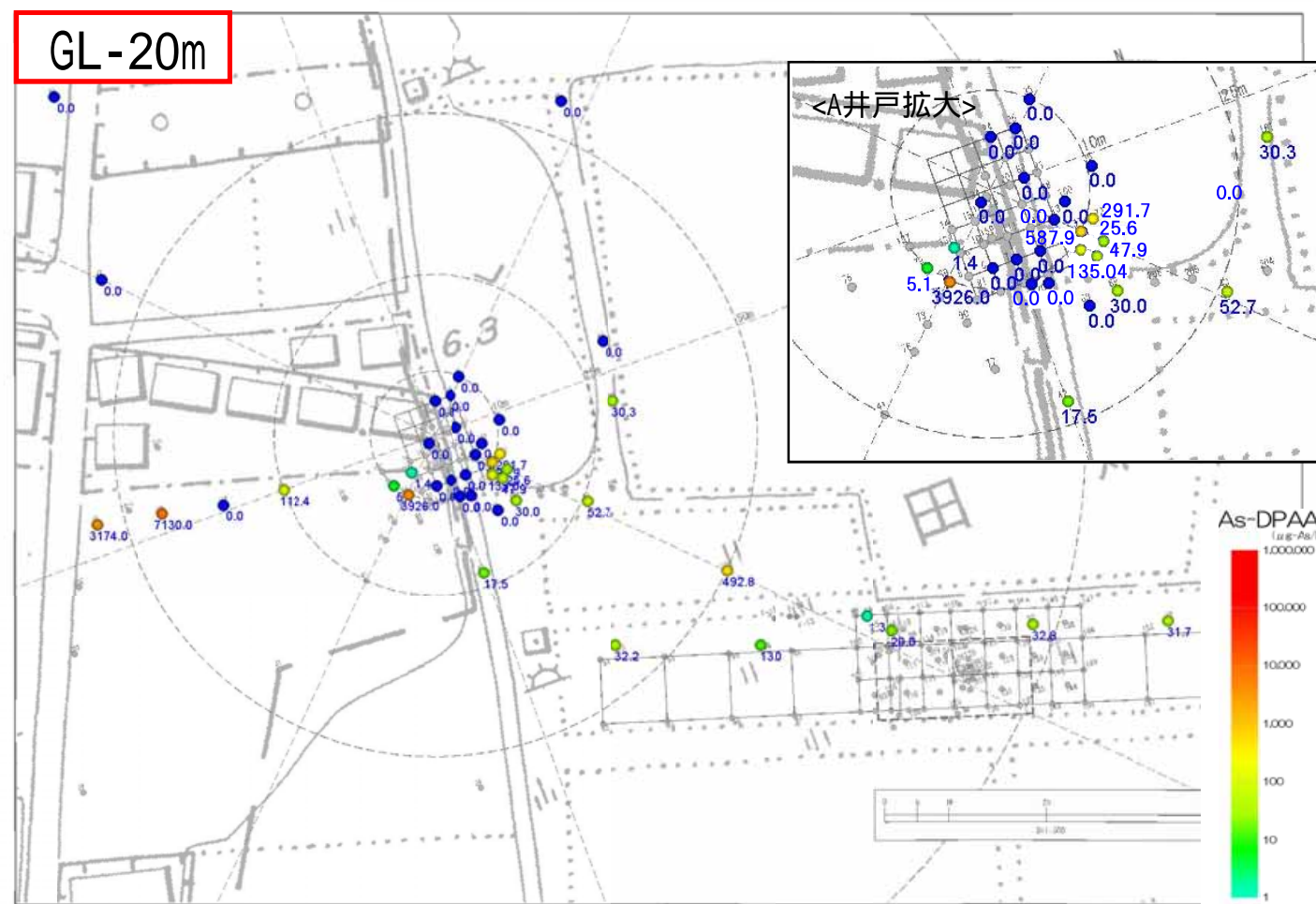
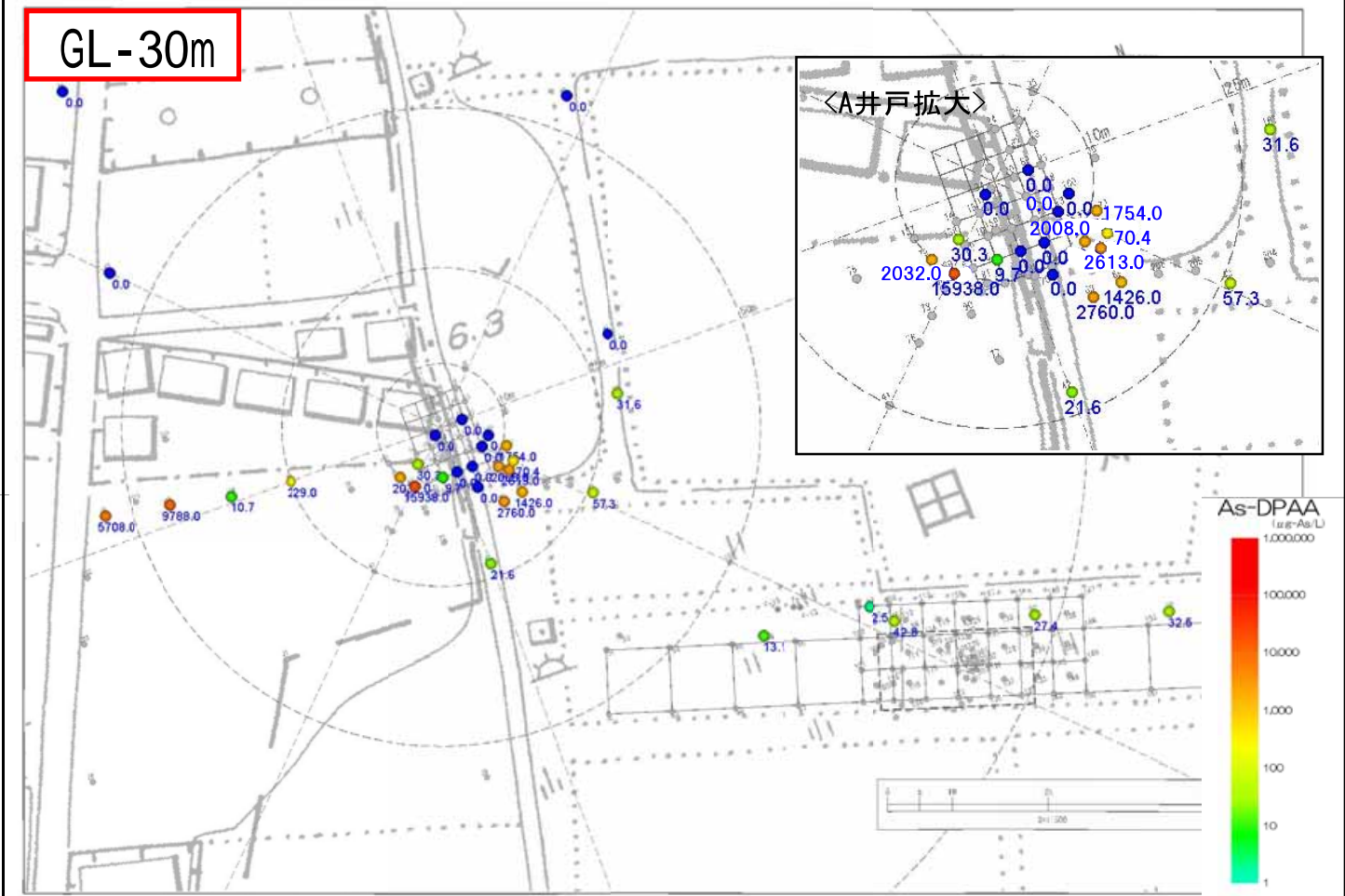
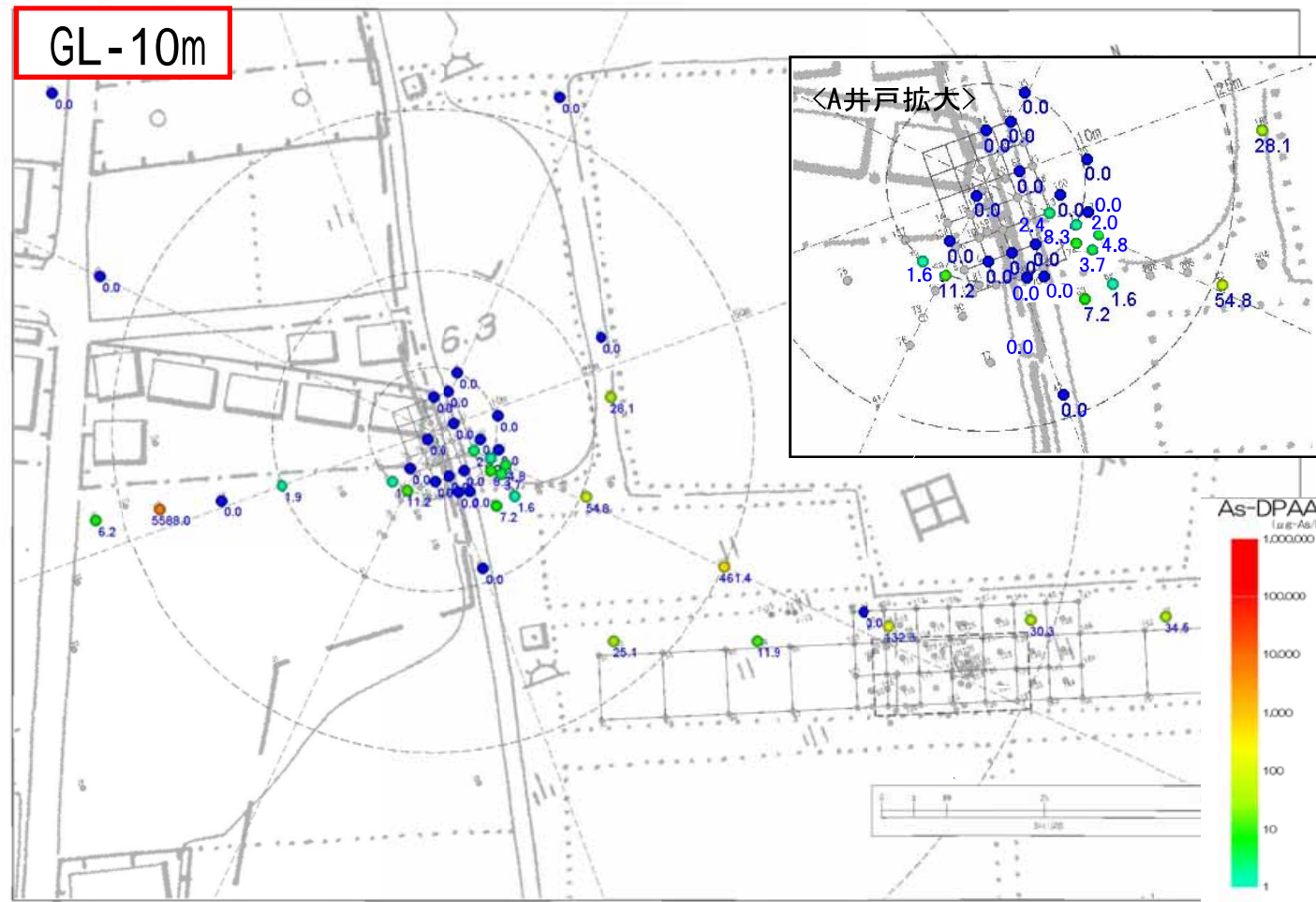
参考表2.4.5 2004年秋季(10~11月)地下水分析結果一覽表

地点番号	地区	深度(m)	採水日	DPAA
65	B	10	10月25日	N.D.
65	B	20	10月25日	N.D.
65	B	30	10月25日	N.D.
66	B	10	10月25日	N.D.
66	B	20	10月25日	N.D.
66	B	29	10月25日	N.D.
57	B	10	10月25日	N.D.
57	B	20	10月25日	N.D.
57	B	26	10月25日	N.D.
64	B	10	10月26日	N.D.
64	B	20	10月26日	N.D.
64	B	30	10月26日	N.D.
173	B	10	11月1日	N.D.
173	B	20	11月1日	N.D.
173	B	30	11月1日	250
190	B	10	10月25日	N.D.
172	B	10	10月25日	9.04
172	B	20	10月25日	9.71
172	B	29	10月25日	13.9
188	B	10	10月25日	N.D.
169	B	10	10月25日	N.D.
169	B	20	10月25日	4.5
169	B	30	10月25日	30.2
189	B	10	10月25日	N.D.
67	B	10	10月26日	N.D.
67	B	20	10月26日	N.D.
67	B	30	10月26日	N.D.
170	B	10	10月25日	10.97
170	B	20	10月25日	14.03
170	B	30	10月25日	24.45
166	B	10	10月28日	94.56
166	B	20	10月28日	142.24
166	B	30	10月28日	305.2
187	B	10	10月25日	N.D.
58	B	10	10月25日	N.D.
58	B	20	10月25日	N.D.
58	B	29	10月25日	1.44
171	B	10	10月25日	N.D.
171	B	20	10月25日	1.22
171	B	30	10月25日	5.37
54	B	10	10月28日	221.4
54	B	20	10月28日	269.6
54	B	30	10月28日	344.3
191	B	10	11月1日	N.D.
191	B	16	11月1日	N.D.
168	B	10	10月25日	N.D.
168	B	20	10月25日	N.D.
168	B	29	10月25日	N.D.
165	B	10	10月28日	N.D.
165	B	20	10月28日	N.D.
165	B	30	10月28日	2.64
167	B	10	11月1日	2.59
167	B	20	11月1日	2.64
167	B	30	11月1日	11.84
162	B	10	10月28日	85.49
162	B	20	10月28日	75.49
162	B	30	10月28日	129.44
63	B	10	10月25日	N.D.
63	B	20	10月25日	N.D.
63	B	30	10月25日	N.D.
192	B	10	10月28日	N.D.
163	B	10	10月28日	N.D.
163	B	20	10月28日	N.D.
163	B	29	10月28日	N.D.
163	B	30	10月28日	45.86
164	B	10	10月25日	N.D.
164	B	20	10月25日	N.D.
164	B	29	10月25日	N.D.
62	B	10	10月26日	N.D.
62	B	20	10月26日	N.D.
62	B	29	10月26日	3.67
60	B	10	10月28日	N.D.
60	B	20	10月28日	N.D.
60	B	30	10月28日	N.D.
59	B	10	10月28日	N.D.
59	B	20	10月28日	N.D.
61	B	10	10月28日	N.D.
61	B	20	10月28日	N.D.
61	B	27	10月28日	N.D.
193	AB	10	10月28日	N.D.
193	AB	20	10月28日	N.D.
193	AB	20	10月28日	N.D.
193	AB	30	10月28日	23.64
174	AB	10	10月28日	1.11
174	AB	20	10月28日	15.22
174	AB	30	10月28日	48.77
175	AB	10	10月26日	N.D.
175	AB	20	10月26日	N.D.
175	AB	30	10月26日	N.D.
55	AB	10	10月27日	N.D.
55	AB	20	10月27日	N.D.
55	AB	30	10月27日	2.2
194	AB	10	11月25日	N.D.
194	AB	20	11月25日	2.47
194	AB	30	11月25日	29.95
194	AB	38	11月25日	40.13
178	AB	10	10月27日	N.D.
178	AB	20	10月27日	N.D.
178	AB	28	10月27日	N.D.
177	AB	10	10月28日	N.D.
177	AB	20	10月28日	N.D.
177	AB	30	10月28日	N.D.
176	AB	10	10月26日	N.D.
179	AB	10	10月27日	N.D.
179	AB	20	10月27日	N.D.
179	AB	30	10月27日	N.D.
56	AB	10	10月28日	N.D.
56	AB	20	10月28日	N.D.
56	AB	30	10月28日	N.D.
197	AB	10	10月27日	N.D.
197	AB	20	10月27日	N.D.
197	AB	27	10月27日	N.D.
181	AB	10	10月27日	N.D.
181	AB	20	10月27日	N.D.
181	AB	30	10月27日	N.D.
180	AB	10	10月27日	N.D.
180	AB	20	10月27日	N.D.
180	AB	29	10月27日	N.D.
51	A	10	10月27日	N.D.
51	A	20	10月27日	N.D.
51	A	30	10月27日	N.D.

地点番号	地区	深度(m)	採水日	DPAA
48	A	10	10月27日	N.D.
48	A	20	10月27日	N.D.
48	A	30	10月27日	35.45
50	A	10	10月27日	N.D.
50	A	20	10月27日	N.D.
50	A	30	10月27日	N.D.
30	A	10	10月28日	N.D.
30	A	20	10月28日	N.D.
30	A	25	10月28日	N.D.
27	A	10	10月29日	6.2
27	A	20	10月29日	317.4
27	A	30	10月29日	5708
155	A	10	10月29日	5588
155	A	20	10月29日	7130
155	A	30	10月29日	9788
47	A	10	10月28日	N.D.
47	A	20	10月28日	N.D.
47	A	29	10月28日	N.D.
49	A	10	10月28日	N.D.
49	A	20	10月28日	N.D.
49	A	28	10月28日	N.D.
156	A	10	10月29日	N.D.
156	A	20	10月29日	N.D.
156	A	30	10月29日	107
40	A	10	10月29日	1.94
40	A	20	10月29日	112.44
40	A	27	10月29日	229
79	A	10	10月29日	1.64
79	A	20	10月29日	5.06
79	A	30	10月29日	2032
39	A	10	10月29日	11.24
39	A	20	10月29日	3926
39	A	30	10月29日	15938
158	A	10	10月29日	N.D.
158	A	20	10月29日	1.42
158	A	28	10月29日	30.34
6	A	10	10月29日	N.D.
6	A	20	10月29日	N.D.
6	A	28	10月29日	9.7
34	A	10	11月1日	N.D.
34	A	20	10月29日	N.D.
34	A	26	10月29日	N.D.
42	A	10	10月29日	N.D.
42	A	20	10月29日	17.52
42	A	26	10月29日	21.61
7	A	10	10月29日	N.D.
7	A	20	10月29日	N.D.
7	A	26	10月29日	N.D.
38	A	10	10月29日	N.D.
38	A	20	10月29日	N.D.
24	A	10	11月1日	N.D.
24	A	20	11月1日	N.D.
70	A	10	10月29日	N.D.
70	A	20	10月29日	N.D.
70	A	30	10月29日	N.D.
8	A	10	10月29日	N.D.
8	A	20	10月29日	N.D.
8	A	26	10月29日	N.D.
89	A	10	10月29日	N.D.
89	A	20	10月29日	N.D.
89	A	28	10月29日	N.D.
25	A	10	11月1日	N.D.
25	A	20	11月1日	N.D.
68	A	10	10月29日	7.16
68	A	20	10月29日	2760
13	A	10	10月29日	2.4
13	A	20	10月29日	N.D.
13	A	30	10月29日	N.D.
74	A	10	10月29日	8.25
74	A	20	10月29日	135.04
74	A	30	10月29日	2068
160	A	10	10月29日	N.D.
160	A	20	10月29日	N.D.
160	A	30	10月29日	N.D.
35	A	10	10月29日	N.D.
35	A	18	10月29日	N.D.
37	A	10	10月29日	1.97
37	A	20	10月29日	587.9
71	A	10	10月29日	3.68
71	A	20	10月29日	47.91
71	A	30	10月29日	2613
72	A	10	10月29日	N.D.
72	A	20	10月29日	291.7
72	A	30	10月29日	1754
73	A	10	10月29日	4.75
73	A	20	10月29日	25.59
73	A	25	11月1日	57.27
161	A	10	11月1日	28.06
161	A	20	11月1日	30.33
161	A	30	11月1日	31.62
44	A	10	11月1日	N.D.
44	A	20	11月1日	N.D.
44	A	26	11月1日	N.D.
45	A	10	10月29日	N.D.
45	A	20	10月29日	N.D.
45	A	20	10月29日	N.D.
45	A	27	10月29日	N.D.
182	A	10	10月29日	461.4
182	A	20	10月29日	492.8
52	A	10	10月27日	N.D.
52	A	20	10月27日	N.D.
53	A	10	10月27日	N.D.
53	A	20	10月27日	N.D.
33	G	10	10月29日	25.07
33	G	20	10月29日	32.21
88	G	10	10月29日	11.85
88	G	20	10月29日	12.99
88	G	26	10月29日	13.11
87	G	10	10月29日	N.D.
87	G	20	10月29日	1.32
87	G	29	10月29日	2.54

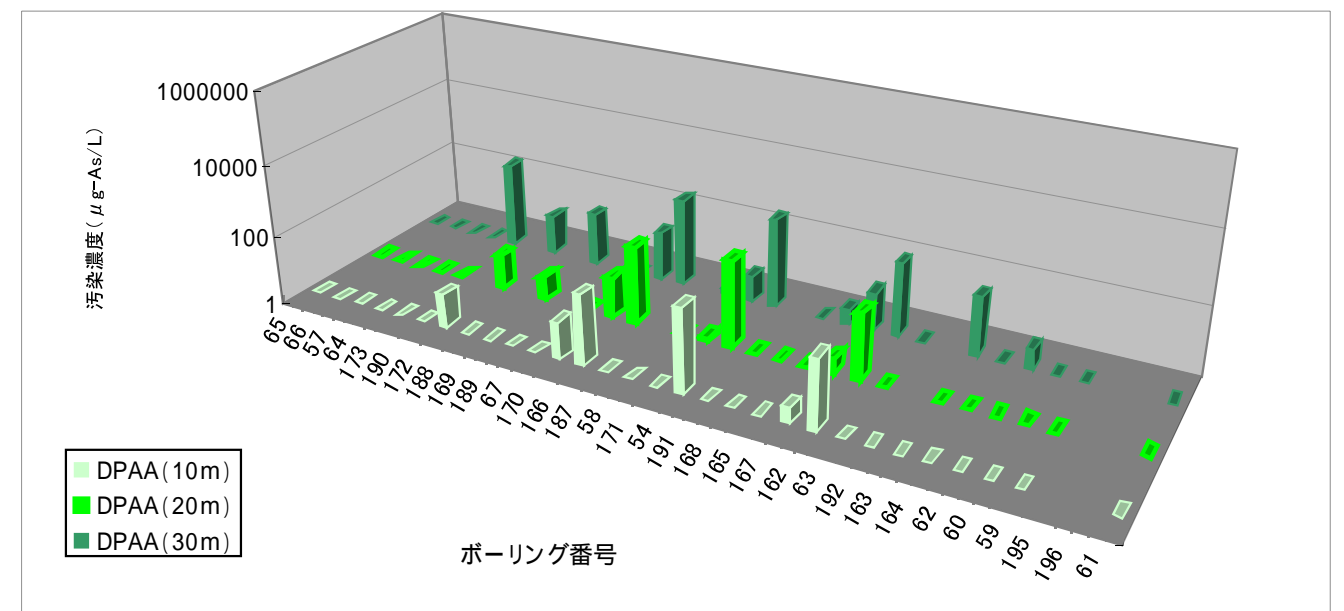
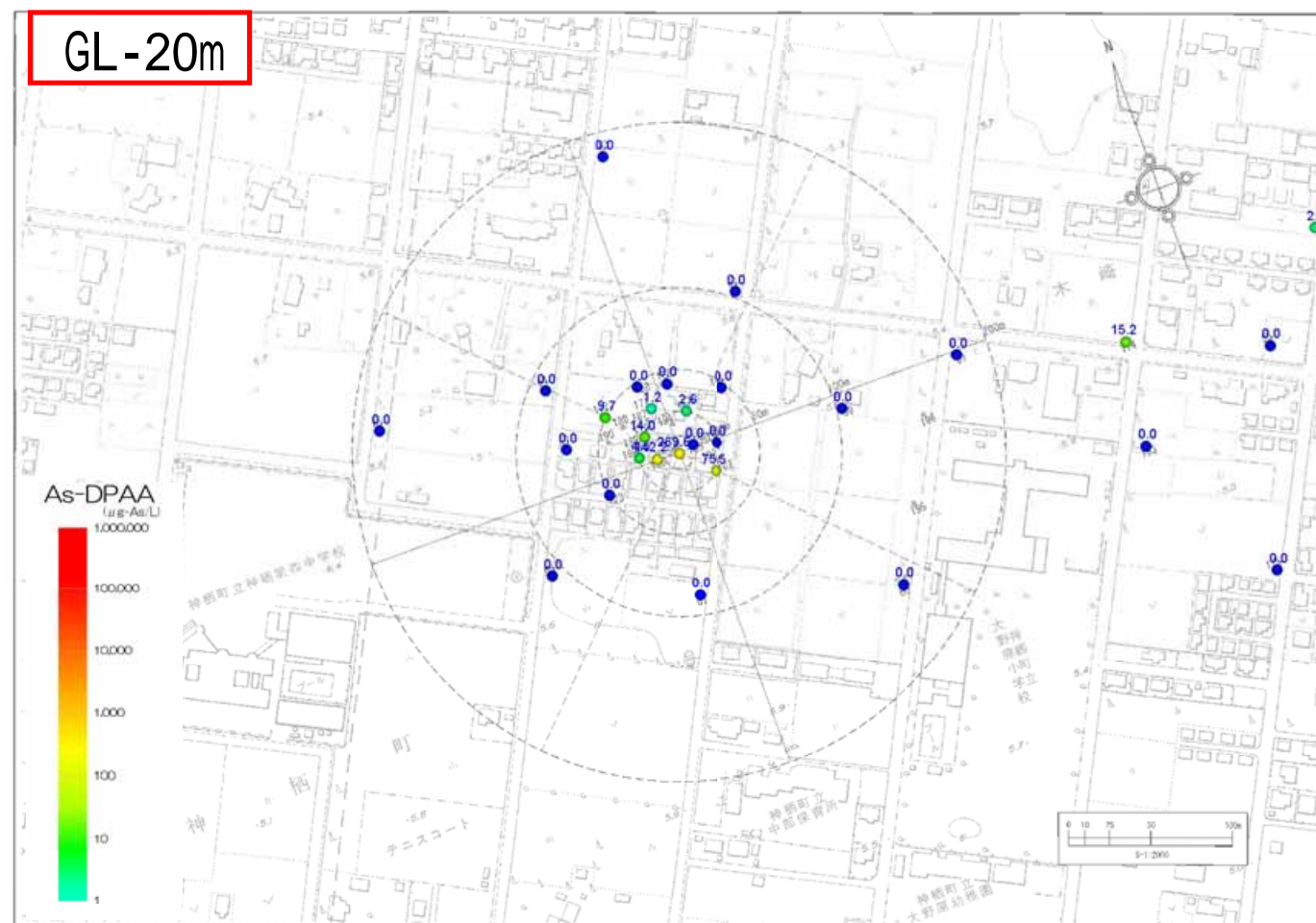
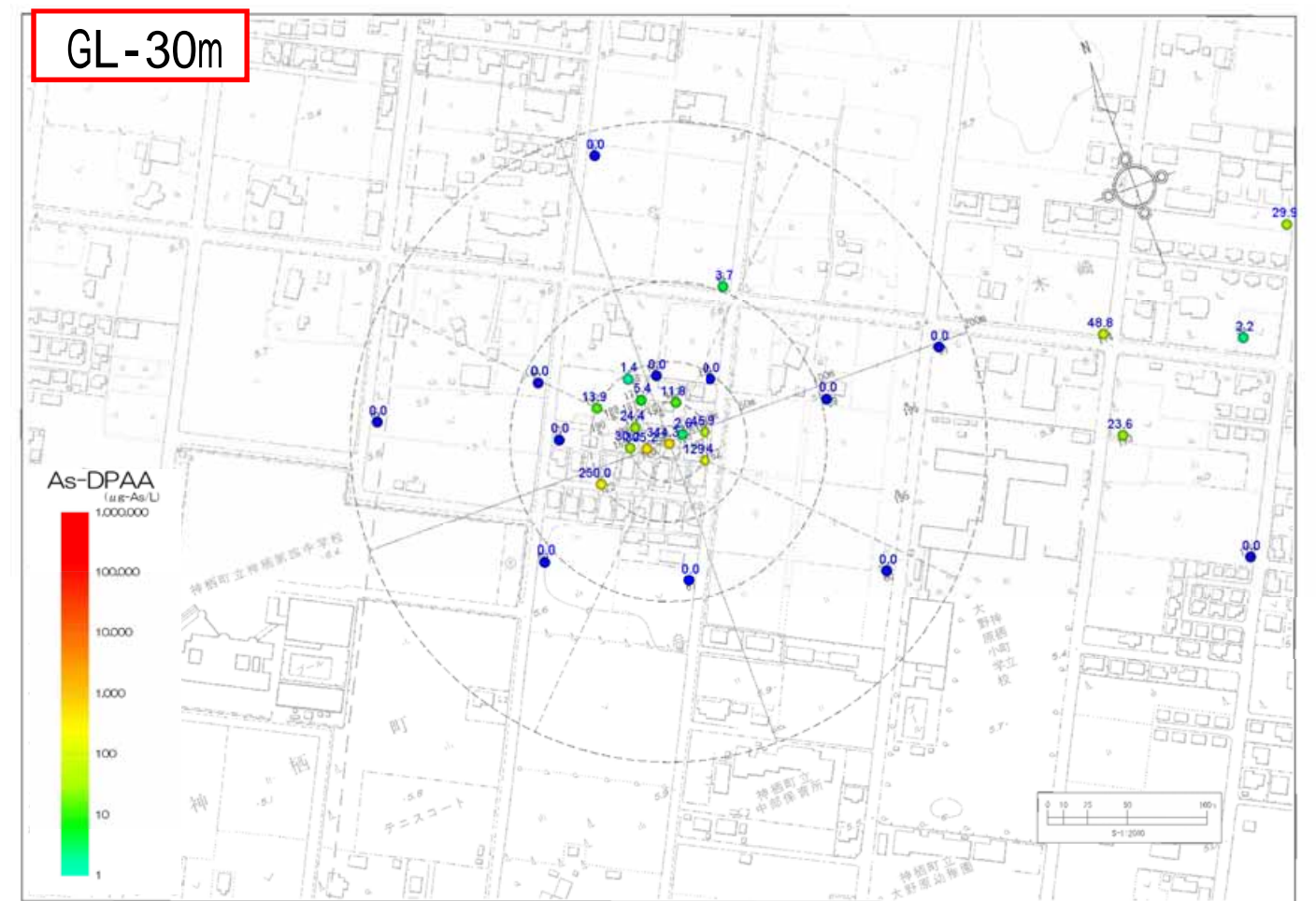
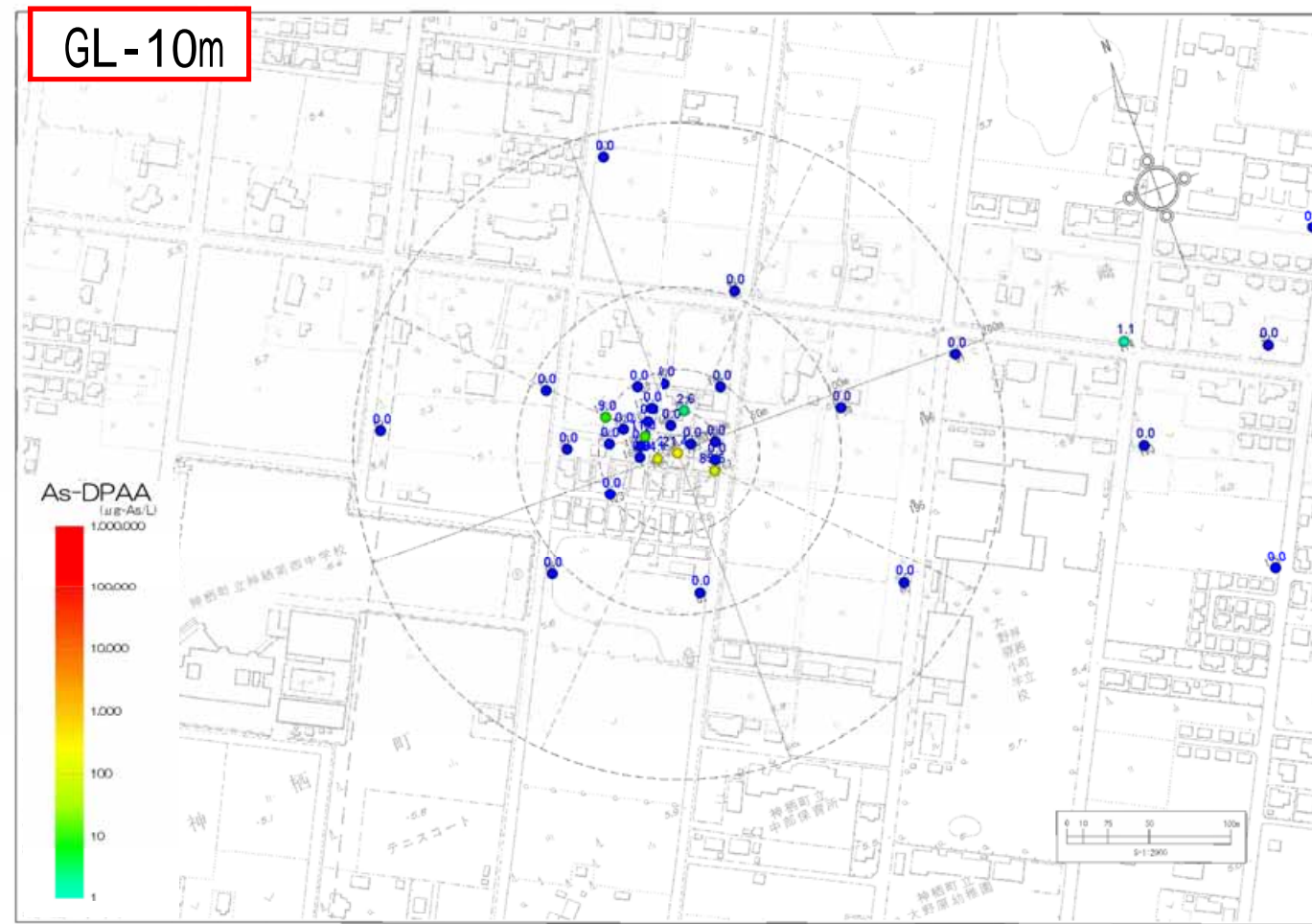
地点番号	地区	深度(m)	採水日	DPAA
46(K1)	G	10		132.32
46(K1)	G	20		20.04
46(K1)	G	27		42.78
82(K3)	G	10		30.33
82(K3)	G	20		32.77
82(K3)	G	28		27.41
32	G	10	10月29日	34.47
32	G	20	10月29日	31.74
32	G	28	10月29日	32.51
M-1	外周	10		N.D.
M-1	外周	20		N.D.
M-1	外周	30		N.D.
M-2	外周	10		N.D.
M-2	外周	20		N.D.
M-2	外周	29		N.D.
M-3	外周	10		N.D.
M-3	外周	20		N.D.
M-3	外周	30		N.D.
M-4	外周	10		N.D.
M-4	外周	20		N.D.
M-4	外周	28		N.D.
M-5	外周	10		N.D.
M-5	外周	20		N.D.
M-6	外周	10		N.D.
M-6	外周	20		N.D.
M-6	外周	30		N.D.
M-7	外周	10		N.D.
M-7	外周	20		N.D.
M-7	外周	26		N.D.
M-8	外周	10		N.D.
M-8	外周	20		N.D.
M-8	外周	26		N.D.
M-9	外周	10		N.D.
M-9	外周	20		N.D.
M-9	外周	30		N.D.
M-10	外周	10		N.D.
M-10	外周	20		N.D.
M-10	外周	30		N.D.
M-11	外周	10		N.D.
M-11	外周	20		N.D.
M-11	外周	30		N.D.
M-12	外周	10		N.D.
M-12	外周	20		N.D.
M-12	外周	30		N.D.
M-13	外周	10		N.D.
M-13	外周	20		N.D.
M-13	外周	28		N.D.
M-14	外周	10		N.D.
M-14	外周	20		N.D.
M-14	外周	29		N.D.
M-15	外周	10		N.D.
M-15	外周	20		N.D.
M-15	外周	27		N.D.
M-16	外周	10		N.D.
M-16	外周	20		N.D.
M-16	外周	26		N.D.
M-17	外周	25		

参考図2.4.4 2004年秋季(10~11月)A井戸周辺地下水DPAA汚染状況図 単位: $\mu\text{g-As/L}$

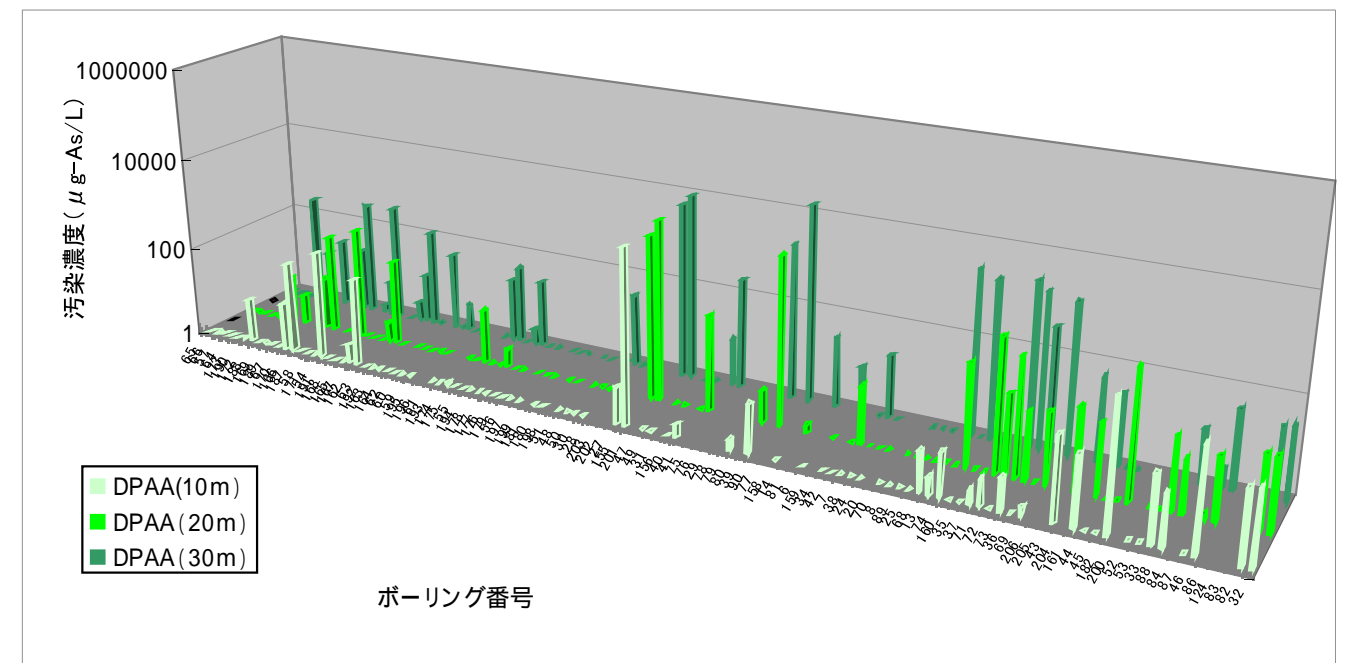
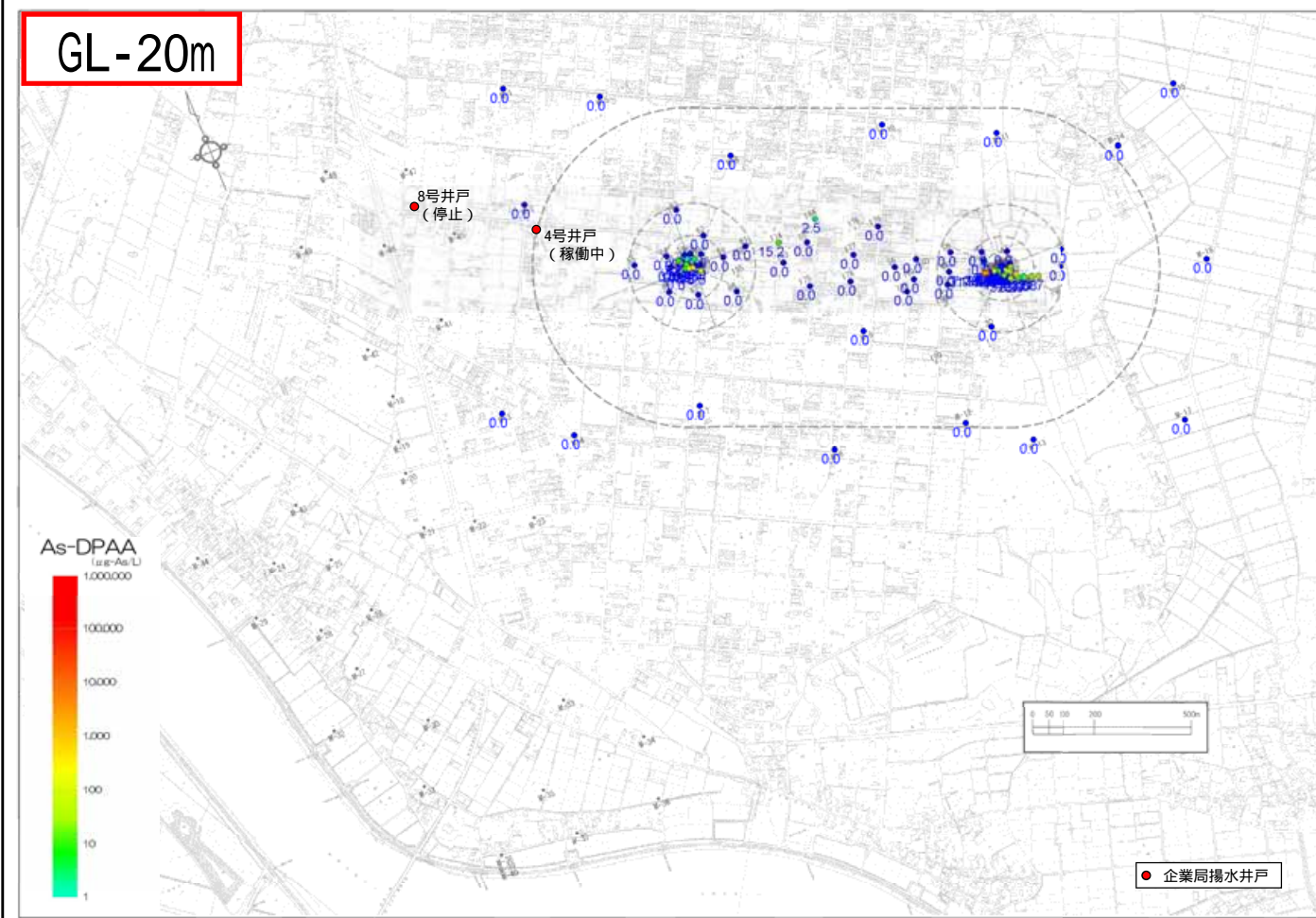
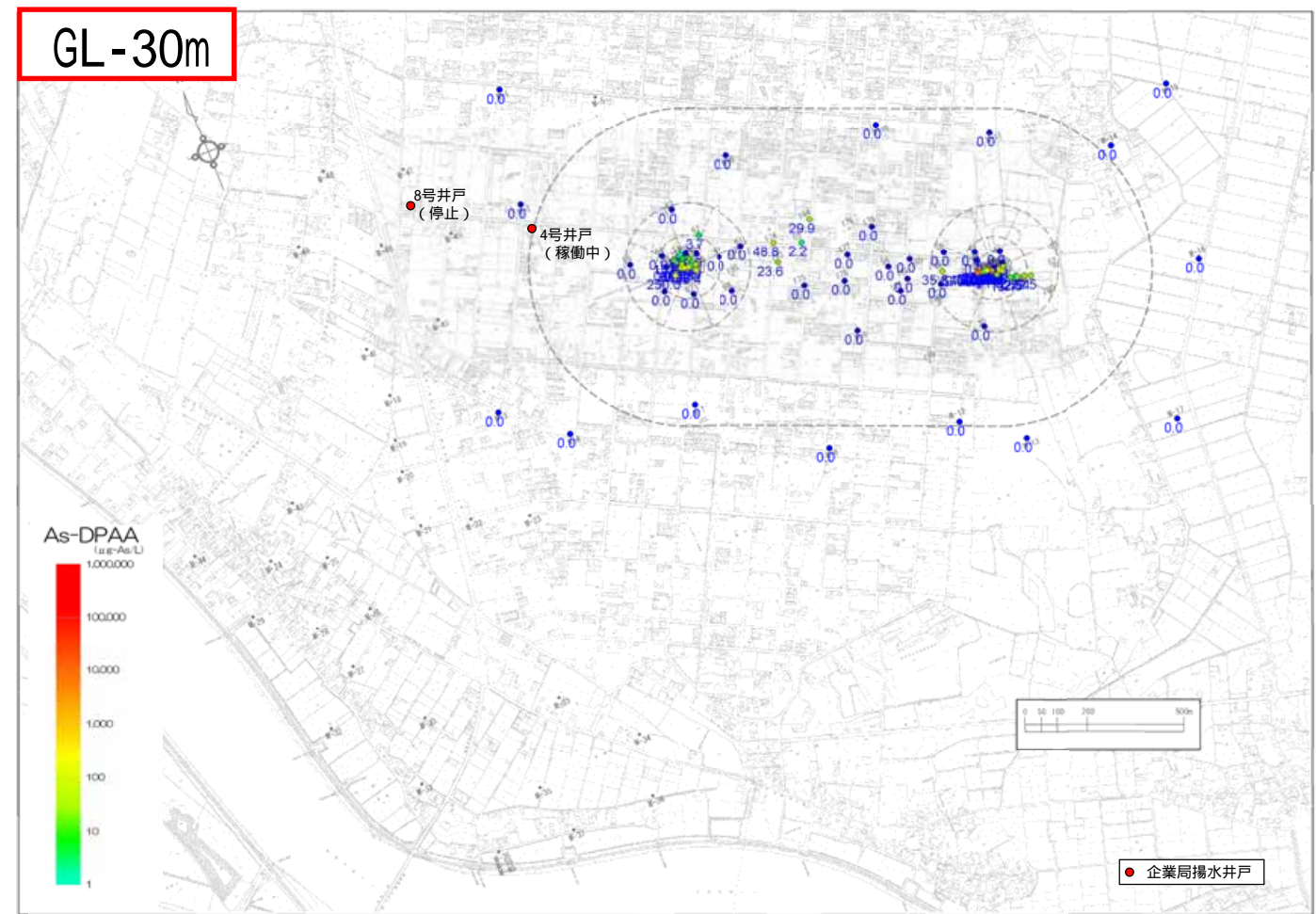
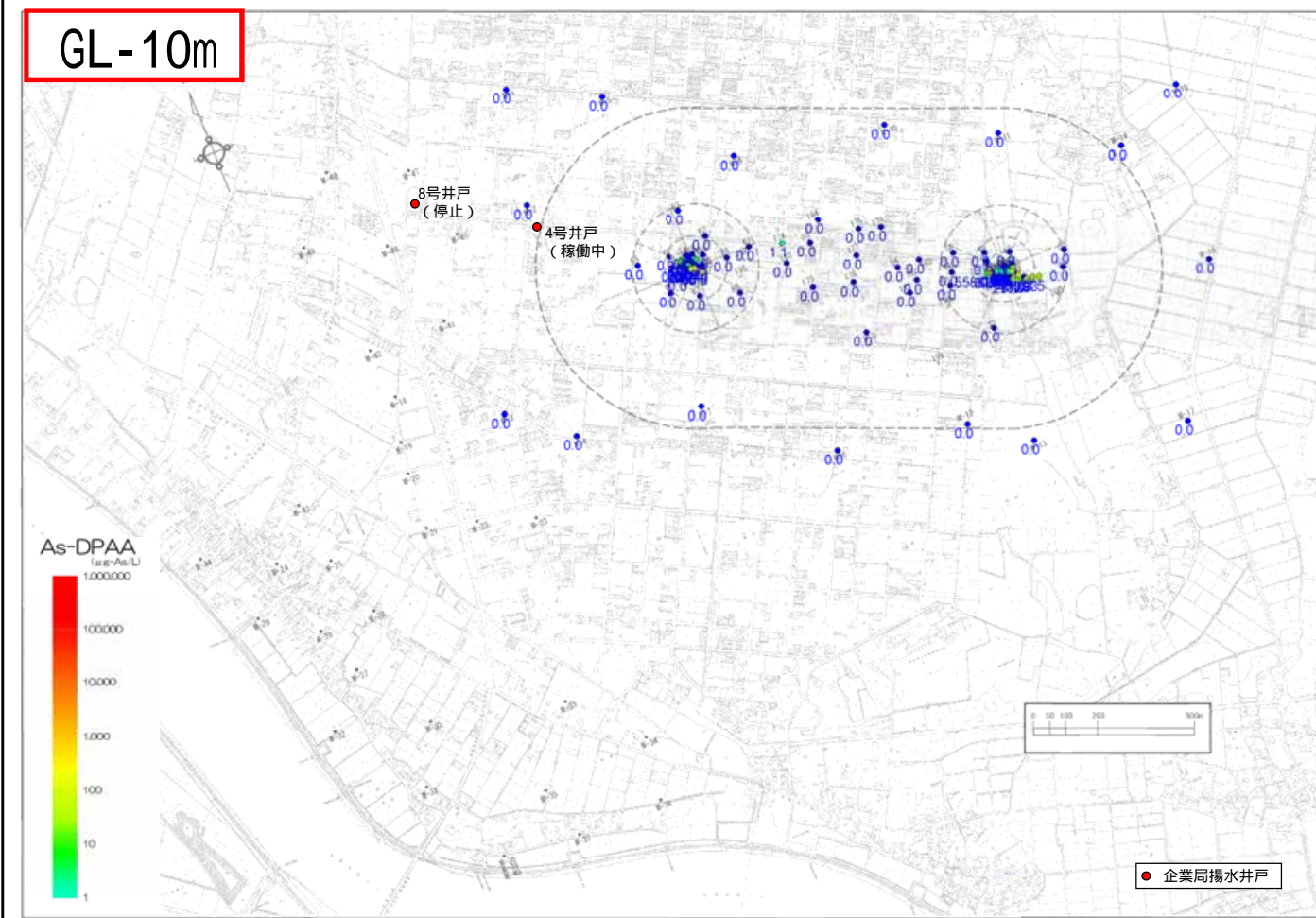


参考図2.4.5 2004年秋季(10~11月)B地区地下水DPAA汚染状況図

単位: $\mu\text{g-As/L}$



参考図2.4.6 2004年秋季(10~11月)ABトラック地下水DPAA汚染状況図 単位: $\mu\text{g-As/L}$

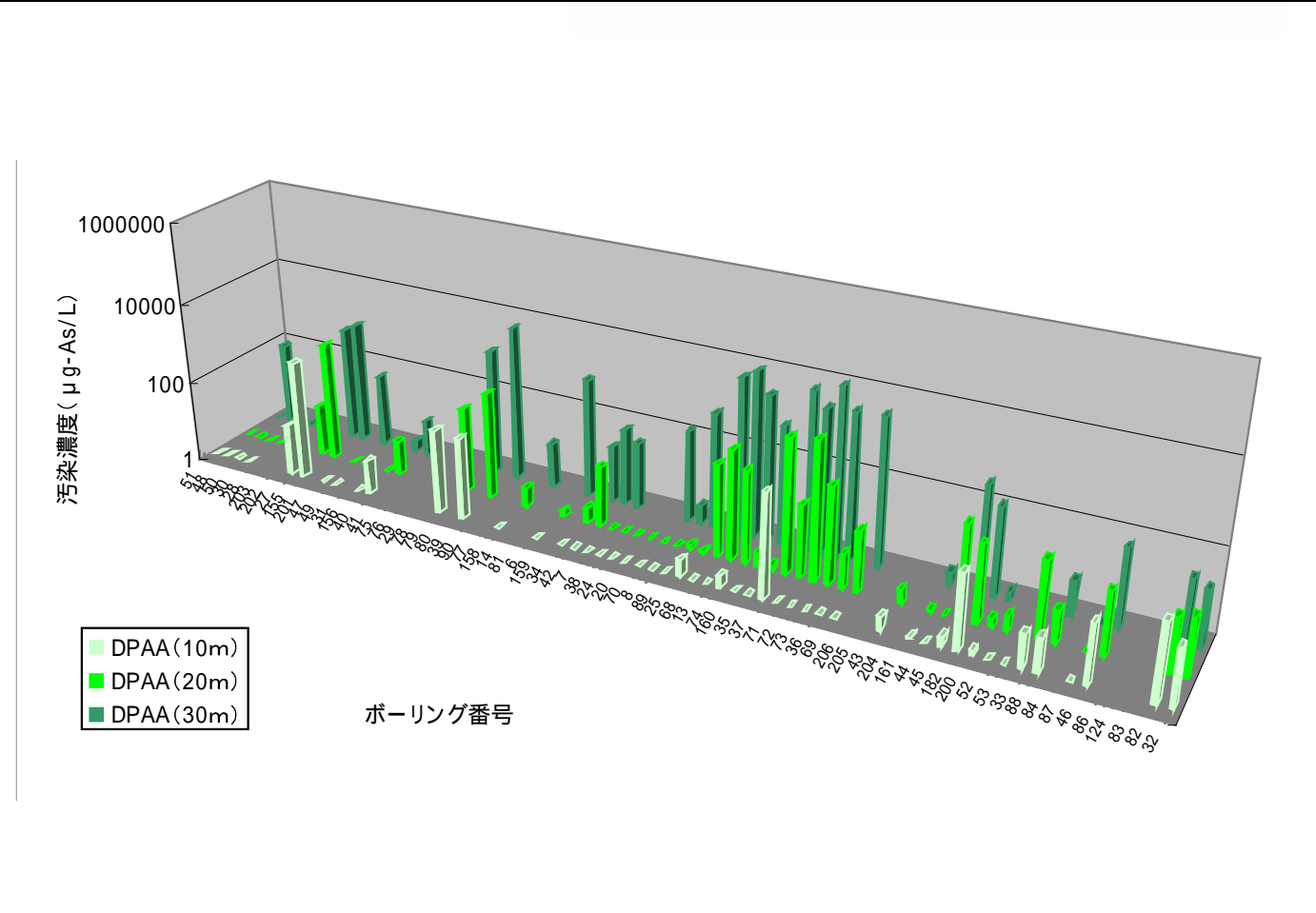
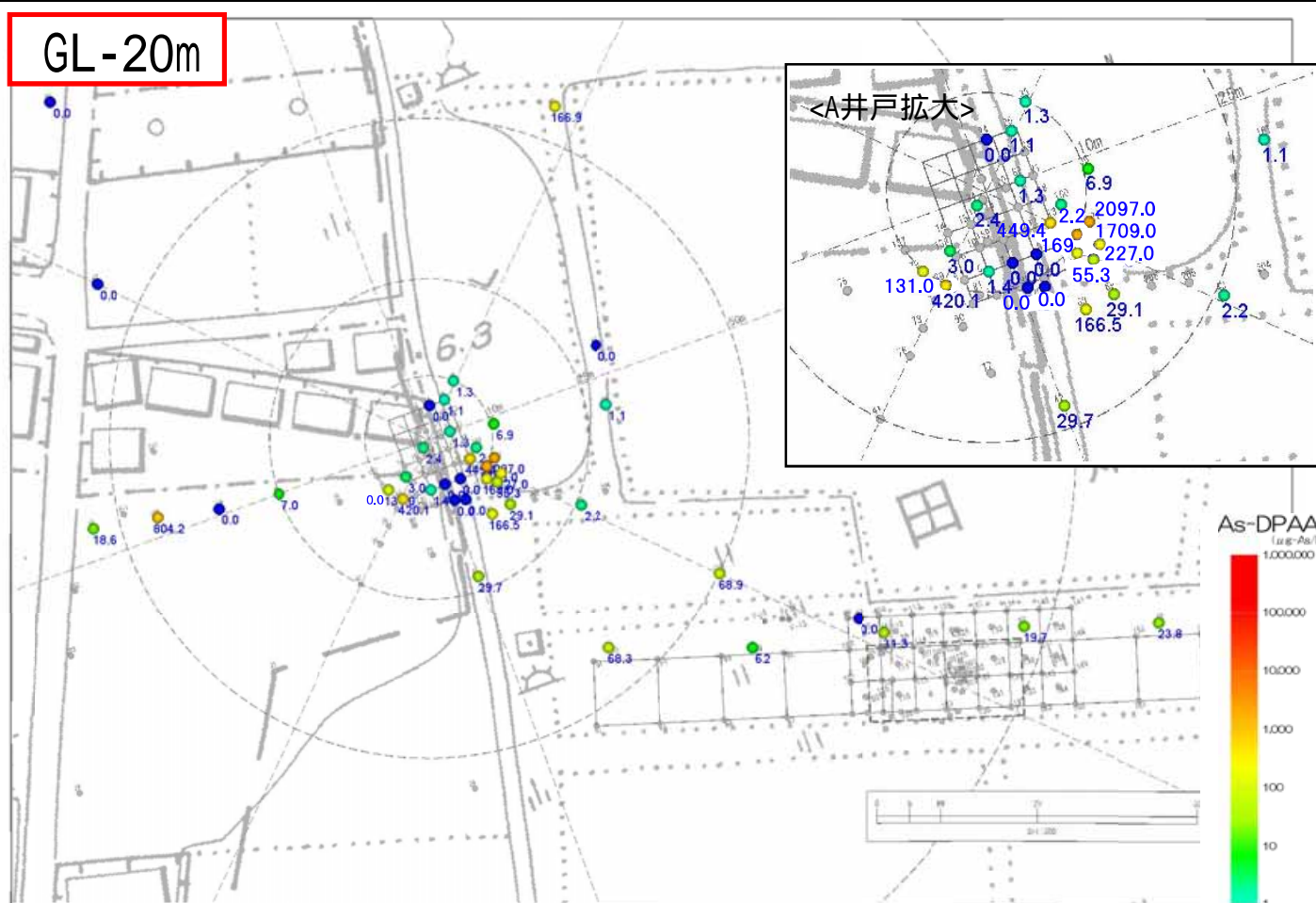
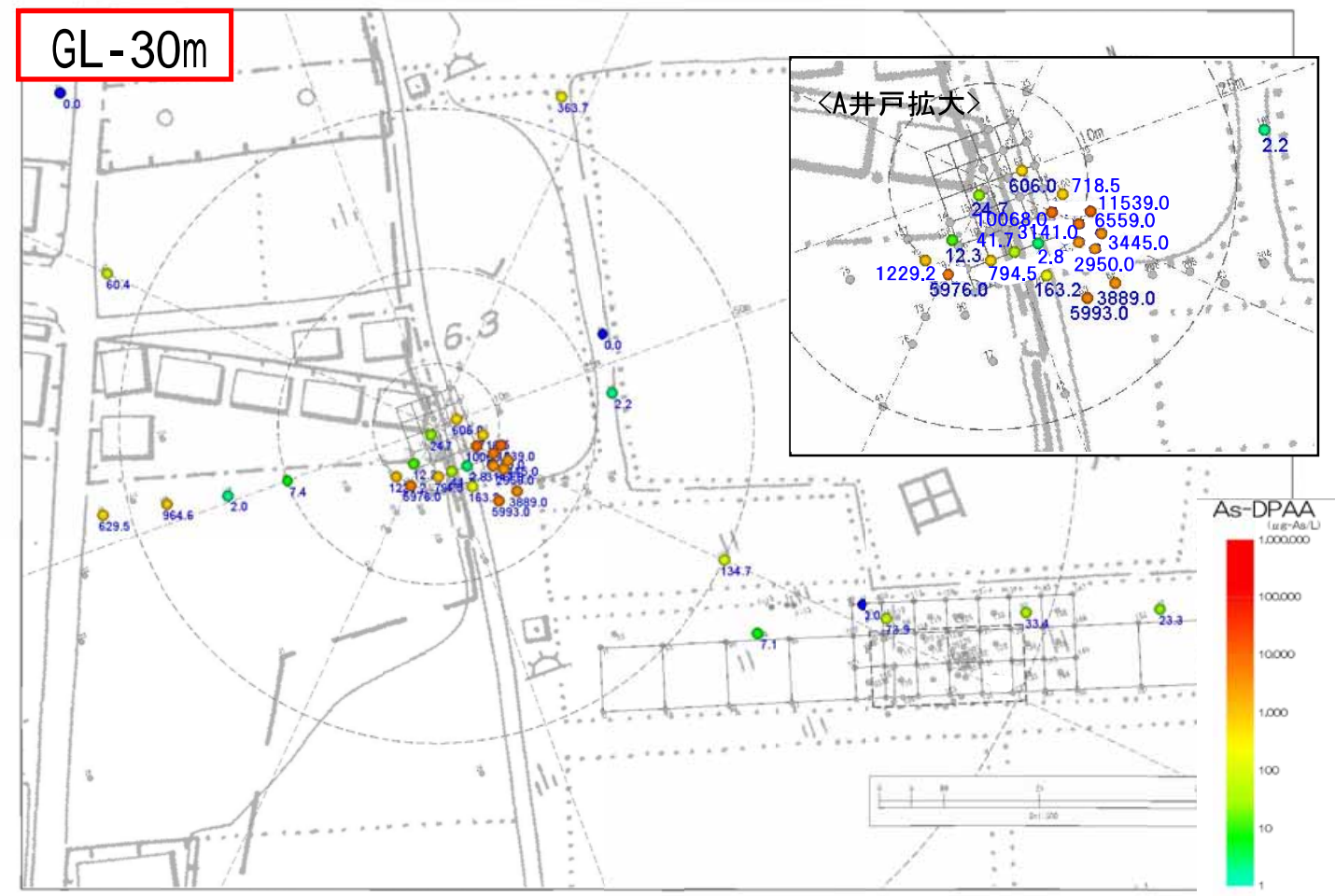
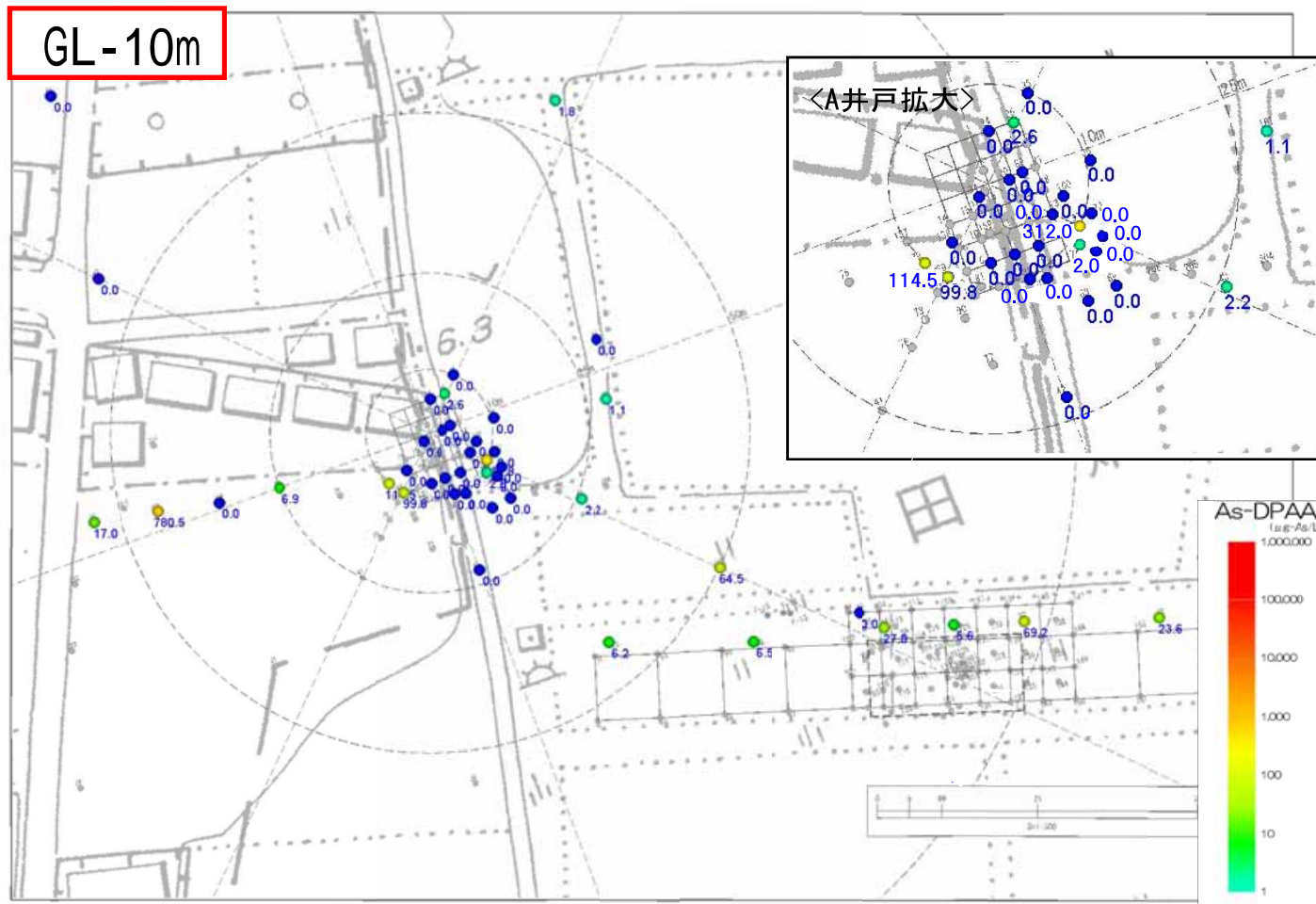


参考図表2.4.6 2005年冬季(2~3月)地下水分析結果一覽表

地点番号	地区	深度(m)	採水日	DPAA	地点番号	地区	深度(m)	採水日	DPAA	地点番号	地区	深度(m)	採水日	DPAA
65	B	10	2月21日	N.D.	181	AB	10	2月18日	N.D.	181	AB	10	2月18日	N.D.
65	B	20	2月21日	N.D.	181	AB	20	2月18日	N.D.	181	AB	20	2月18日	N.D.
65	B	30	2月21日	N.D.	181	AB	30	2月18日	N.D.	180	AB	10	2月18日	N.D.
66	B	10	2月21日	N.D.	180	AB	10	2月18日	N.D.	180	AB	20	2月18日	N.D.
66	B	20	2月21日	N.D.	180	AB	20	2月18日	N.D.	180	AB	30	2月18日	N.D.
66	B	29	2月21日	N.D.	180	AB	30	2月18日	N.D.	198	AB	10	3月1日	6.2
57	B	10	2月22日	N.D.	198	AB	20	3月1日	6.8	198	AB	20	3月1日	6.1
57	B	26	2月22日	8.4	198	AB	28	3月1日	6.1	51	A	10	2月18日	N.D.
64	B	10	2月21日	N.D.	51	A	10	2月18日	N.D.	51	A	20	2月18日	N.D.
64	B	20	2月21日	N.D.	51	A	20	2月18日	N.D.	51	A	30	2月18日	N.D.
64	B	30	2月21日	5	48	A	10	2月18日	N.D.	48	A	10	2月18日	N.D.
173	B	10	2月22日	N.D.	48	A	20	2月18日	N.D.	48	A	20	2月18日	N.D.
173	B	30	2月22日	2.2	48	A	30	2月18日	103	50	A	10	2月18日	N.D.
190	B	10	2月22日	N.D.	50	A	10	2月18日	N.D.	50	A	20	2月18日	N.D.
172	B	10	2月22日	N.D.	50	A	20	2月18日	N.D.	50	A	30	2月18日	N.D.
172	B	20	2月22日	N.D.	30	A	10	2月18日	N.D.	30	A	10	2月18日	N.D.
172	B	29	2月22日	1.5	30	A	20	2月18日	N.D.	30	A	20	2月18日	N.D.
188	B	10	2月22日	N.D.	30	A	25	2月18日	N.D.	30	A	25	2月18日	N.D.
169	B	10	2月22日	N.D.	27	A	10	2月15日	17	27	A	10	2月15日	17
169	B	20	2月22日	5.9	27	A	20	2月15日	18.6	27	A	20	2月15日	18.6
169	B	30	2月22日	22.6	27	A	30	2月15日	629.5	155	A	10	2月15日	780.5
189	B	10	2月22日	N.D.	155	A	10	2月15日	780.5	155	A	20	2月15日	804.2
67	B	10	2月21日	N.D.	155	A	20	2月15日	964.6	47	A	10	2月17日	N.D.
67	B	20	2月21日	N.D.	47	A	10	2月17日	N.D.	47	A	20	2月17日	N.D.
67	B	30	2月21日	N.D.	47	A	20	2月17日	60.4	47	A	29	2月17日	60.4
170	B	10	2月22日	N.D.	49	A	10	2月18日	N.D.	49	A	10	2月18日	N.D.
170	B	20	2月22日	8.6	49	A	20	2月18日	N.D.	49	A	20	2月18日	N.D.
170	B	30	2月22日	1.7	49	A	29	2月18日	N.D.	49	A	29	2月18日	N.D.
166	B	10	2月21日	5.3	156	A	10	2月15日	N.D.	156	A	10	2月15日	N.D.
166	B	20	2月21日	92.3	156	A	20	2月15日	N.D.	156	A	20	2月15日	N.D.
187	B	10	2月22日	N.D.	156	A	30	2月15日	2	156	A	10	2月15日	N.D.
58	B	10	2月22日	N.D.	156	A	10	2月15日	6.9	40	A	10	2月15日	6.9
58	B	29	2月22日	101.9	40	A	10	2月15日	7	40	A	20	2月15日	7
171	B	10	2月22日	N.D.	40	A	20	2月15日	7.4	40	A	27	2月15日	7.4
171	B	20	2月22日	N.D.	79	A	10	2月15日	114.5	79	A	10	2月15日	114.5
171	B	30	2月22日	23	79	A	20	2月15日	131	79	A	20	2月15日	131
54	B	10	2月21日	12.2	79	A	30	2月15日	1229.2	79	A	30	2月15日	1229.2
54	B	20	2月21日	13.1	39	A	10	2月15日	99.8	39	A	10	2月15日	99.8
54	B	30	2月21日	15.9	39	A	20	2月15日	420.1	39	A	20	2月15日	420.1
191	B	10	2月23日	N.D.	39	A	30	2月15日	597.6	39	A	30	2月15日	597.6
168	B	10	2月22日	N.D.	158	A	10	2月15日	N.D.	158	A	10	2月15日	N.D.
168	B	20	2月22日	N.D.	158	A	20	2月15日	3	158	A	20	2月15日	3
168	B	29	2月22日	9.7	158	A	28	2月15日	12.3	6	A	10	2月23日	N.D.
165	B	10	2月21日	N.D.	6	A	10	2月23日	N.D.	6	A	10	2月23日	N.D.
165	B	20	2月21日	1	6	A	20	2月23日	1.4	6	A	20	2月23日	1.4
165	B	30	2月21日	2.9	34	A	10	2月14日	N.D.	34	A	10	2月14日	N.D.
167	B	10	2月23日	N.D.	34	A	20	2月14日	N.D.	34	A	20	2月14日	N.D.
167	B	20	2月23日	N.D.	34	A	20	2月14日	2.4	34	A	20	2月14日	2.4
167	B	30	2月23日	46.6	34	A	26	2月14日	24.7	34	A	26	2月14日	24.7
162	B	10	2月21日	N.D.	42	A	10	2月15日	N.D.	42	A	10	2月15日	N.D.
162	B	20	2月21日	63.8	42	A	20	2月15日	29.7	42	A	20	2月15日	29.7
162	B	30	2月21日	N.D.	42	A	25	2月15日	75.5	42	A	25	2月15日	75.5
63	B	10	2月21日	N.D.	7	A	10	2月23日	N.D.	7	A	10	2月23日	N.D.
63	B	20	2月21日	N.D.	7	A	20	2月23日	N.D.	7	A	20	2月23日	N.D.
192	B	10	2月21日	N.D.	38	A	10	2月14日	N.D.	38	A	10	2月14日	N.D.
163	B	10	2月21日	1.2	38	A	20	2月14日	N.D.	38	A	20	2月14日	N.D.
163	B	20	2月21日	332.6	24	A	10	2月14日	N.D.	24	A	10	2月14日	N.D.
163	B	29	2月21日	473.9	24	A	20	2月14日	N.D.	24	A	20	2月14日	N.D.
164	B	10	2月22日	N.D.	20	A	10	2月14日	N.D.	20	A	10	2月14日	N.D.
164	B	20	2月22日	N.D.	20	A	18	2月14日	N.D.	20	A	18	2月14日	N.D.
164	B	29	2月22日	9	70	A	10	2月14日	N.D.	70	A	10	2月14日	N.D.
62	B	10	2月21日	N.D.	70	A	20	2月14日	N.D.	70	A	20	2月14日	N.D.
62	B	20	2月21日	N.D.	8	A	10	2月23日	163.2	8	A	10	2月23日	163.2
60	B	10	2月21日	N.D.	8	A	20	2月23日	N.D.	8	A	20	2月23日	N.D.
60	B	20	2月21日	N.D.	8	A	26	2月23日	2.8	8	A	26	2月23日	2.8
60	B	30	2月21日	N.D.	89	A	10	2月14日	N.D.	89	A	10	2月14日	N.D.
59	B	10	2月21日	N.D.	89	A	20	2月14日	1.3	89	A	20	2月14日	1.3
59	B	20	2月21日	N.D.	89	A	28	2月14日	606	89	A	28	2月14日	606
59	B	30	2月21日	21.7	25	A	10	2月14日	2.6	25	A	10	2月14日	2.6
195	B	10	2月21日	N.D.	25	A	20	2月14日	1.1	25	A	20	2月14日	1.1
195	B	20	2月21日	N.D.	68	A	10	2月14日	N.D.	68	A	10	2月14日	N.D.
195	B	30	2月21日	2.4	68	A	20	2月14日	166.5	68	A	20	2月14日	166.5
196	B	10	2月21日	N.D.	68	A	30	2月14日	5993	68	A	30	2月14日	5993
196	B	20	2月21日	N.D.	13	A	10	2月28日	N.D.	13	A	10	2月28日	N.D.
196	B	28	2月21日	N.D.	13	A	20	2月28日	449.4	13	A	20	2月28日	449.4
61	B	10	2月21日	N.D.	13	A	30	2月28日	10068	13	A	30	2月28日	10068
61	B	20	2月21日	N.D.	74	A	10	2月18日	2	74	A	10	2月18日	2
61	B	27	2月21日	N.D.	74	A	20	2月18日	169	74	A	20	2月18日	169
193	AB	10	2月21日	N.D.	74	A	30	2月18日	3141	74	A	30	2月18日	3141
193	AB	20	2月21日	N.D.	160	A	10	2月14日	N.D.	160	A	10	2月14日	N.D.
193	AB	30	2月21日	N.D.	160	A	20	2月14日	2.2	160	A	20	2月14日	2.2
174	AB	10	2月21日	N.D.	160	A	30	2月14日	718.5	160	A	30	2月14日	718.5
174	AB	20	2月21日	N.D.	35	A	10	2月14日	N.D.	35	A	10	2月14日	N.D.
174	AB	30	2月21日	11.2	35	A	18	2月14日	1.3	35	A	18	2月14日	1.3
175	AB	10	2月18日	N.D.	37	A	10	2月14日	312.8	37	A	10	2月14日	312.8
175	AB	20	2月18日	N.D.	37	A	20	2月14日	1709	37	A	20	2月14日	1709
175	AB	30	2月18日	N.D.	37	A	25	2月14日	6559	37	A	25	2月14日	6559
55	AB	10	2月18日	N.D.	71	A	10	2月14日	N.D.	71	A	10	2月14日	N.D.
55	AB	20	2月18日	N.D.	71	A	20	2月14日	55.3	71	A	20	2月14日	55.3
55	AB	30	2月18日	1.8	71	A	30	2月14日	2950	71	A	30	2月14日	2950
194	AB	10	2月18日	N.D.	72	A	10	2月14日	N.D.	72	A	10	2月14日	N.D.
194	AB	20	2月18日	7.2	72	A	20	2月14日	2097	72	A	20	2月14日	2097
194	AB	30	2月18日	60.7	72	A	30	2月14日	11539	72	A	30	2月14日	11539
194	AB	39	2月18日	67.9	73	A	10	2月14日	N.D.	73	A	10	2月14日	N.D.
178	AB	10	2月18日	N.D.	73	A	20	2月14日	227	73	A	20	2月14日	227
178	AB	20	2月18日	N.D.	73	A	30	2月14日	3445	73	A	30	2月14日	3445
178	AB	30	2月18日	N.D.	36	A	10	2月14日	N.D.	36	A	10	2月14日	N.D.
177	AB	10	2月21日	N.D.	36	A	20	2月14日	6.9	36	A	20	2月14日	6.9
177	AB	20	2月21日	N.D.	69	A	10	2月14日	N.D.	69	A	10	2月14日	N.D.
177	AB	30	2月21日	12	69	A	20	2月14日	29.1	69	A	20	2月14日	29.1
176	AB	10	2月18日	N.D.	69	A	30	2月14日	3889	69	A	30	2月14日	3889
179	AB	10	2月18日	N.D.	43	A	10	2月15日	2.2	43	A	10	2月15日	2.2
179	AB	20	2月18日	N.D.	161	A	10	2月15日	1.1	161	A	10	2月15日	1.1
179	AB	30	2月18日	N.D.	161	A	20	2月15日	1.1	161	A	20	2月15日	1.1
56	AB	10	2月18日	N.D.	161	A	30	2月15日	2.2	161	A	30	2月15日	2.2
56	AB	20	2月18日	N.D.	44	A	10	2月15日	N.D.	44	A	10		

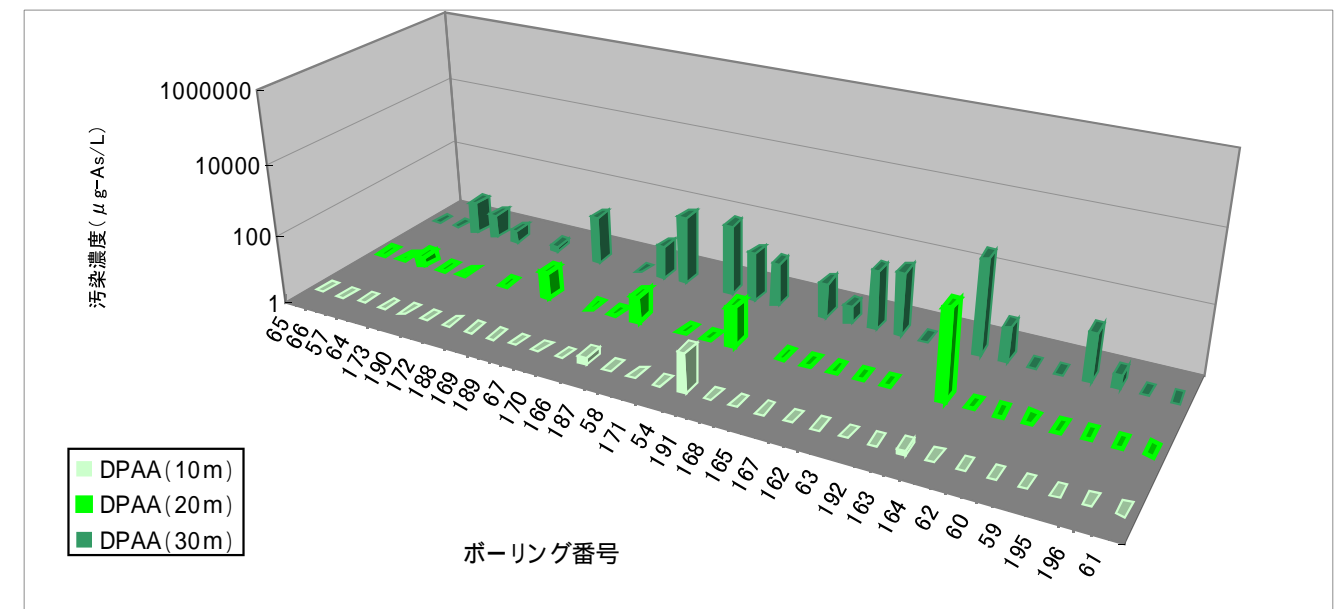
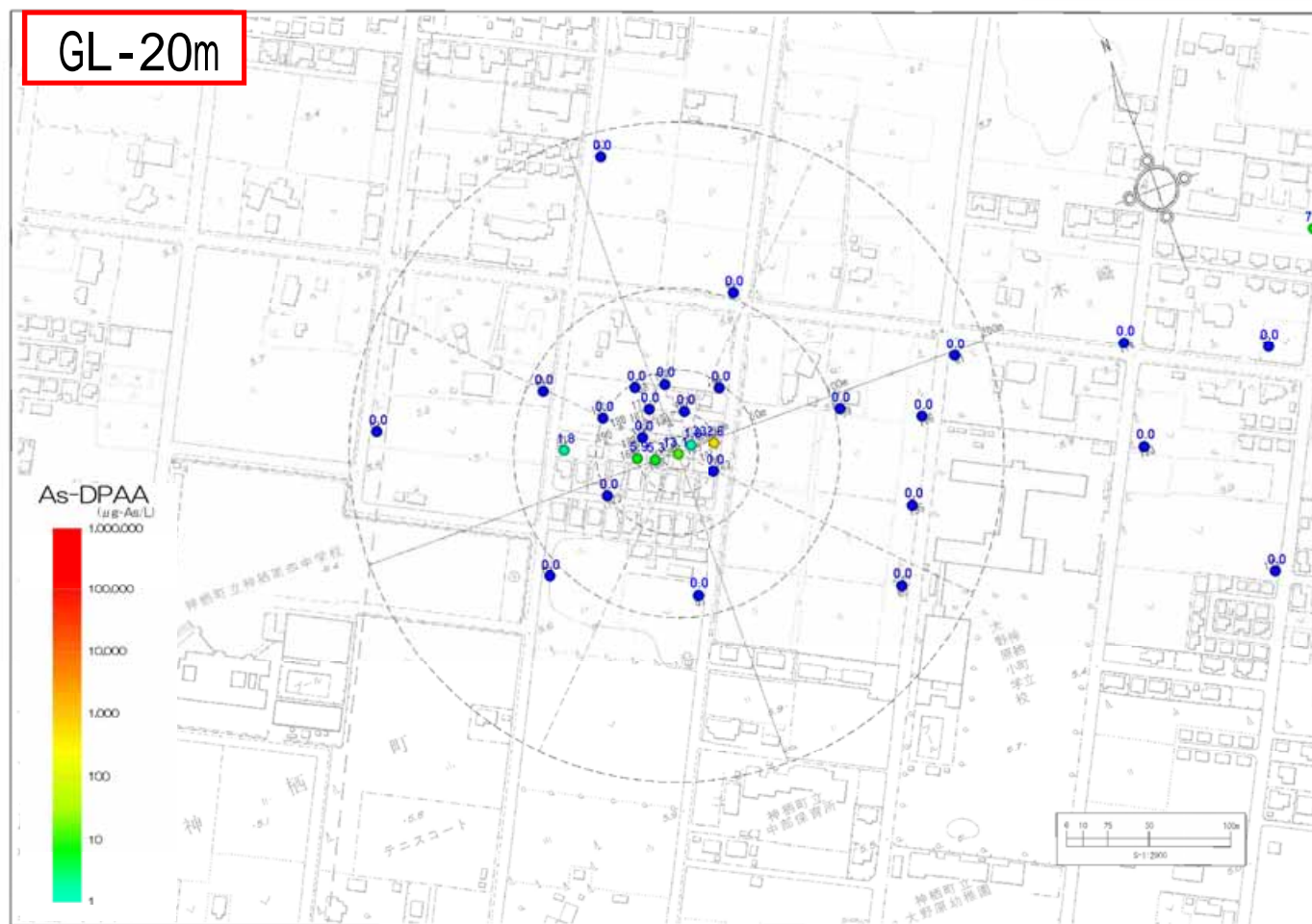
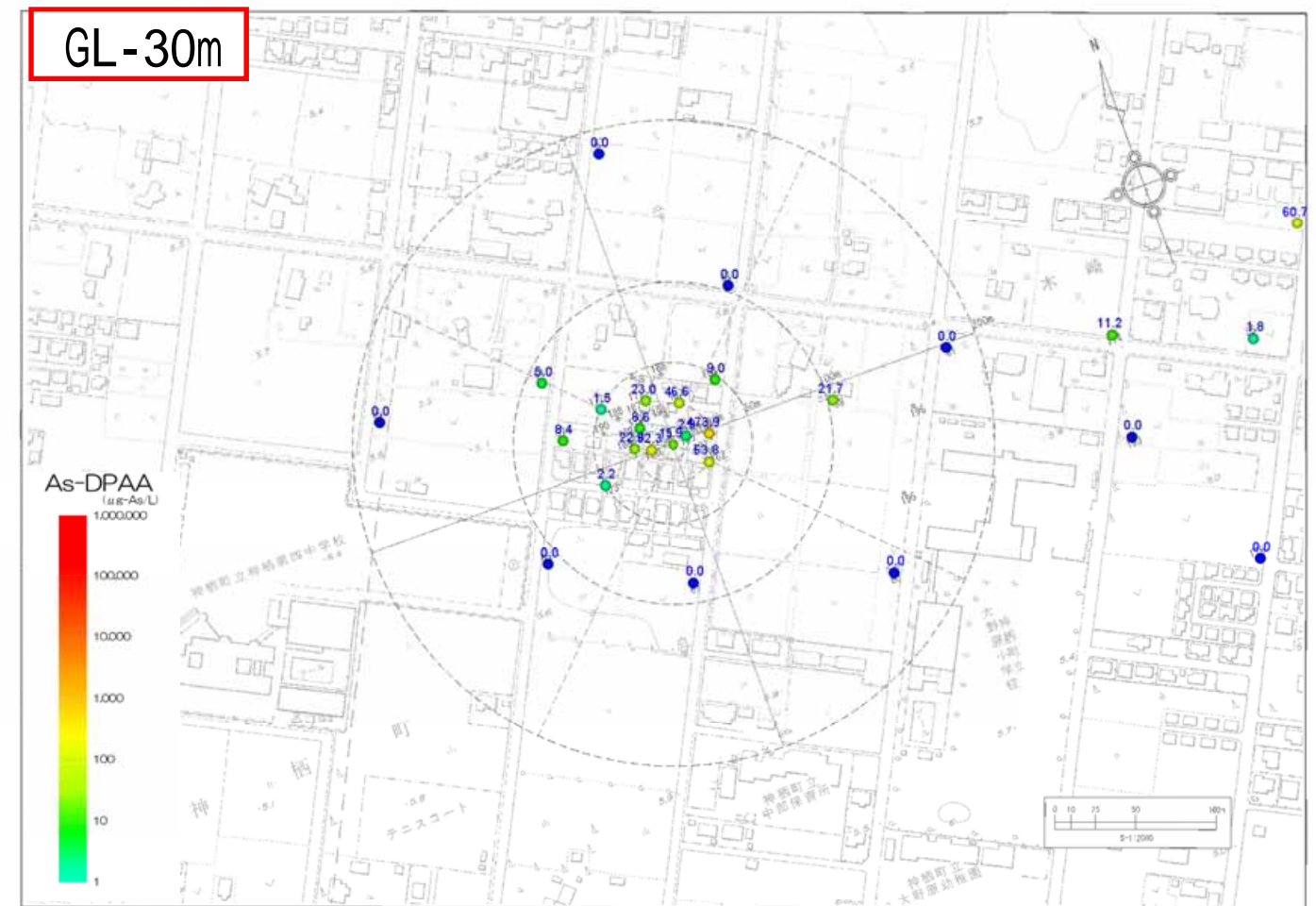
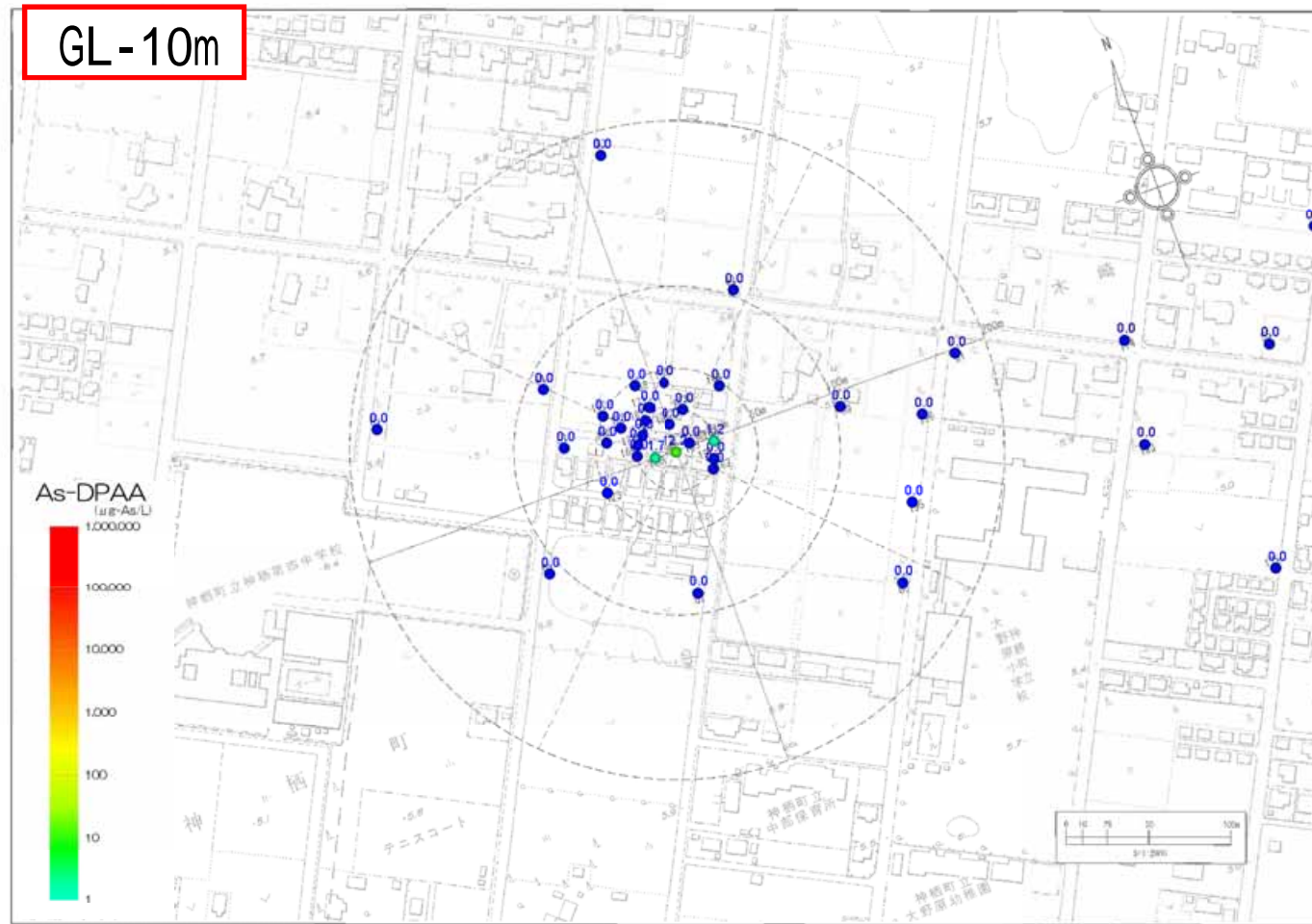
参考図2.4.7 2005年冬季(2~3月)A井戸周辺地下水DPAA汚染状況図

単位: $\mu\text{g-As/L}$



参考図2.4.8 2005年冬季(2~3月)B地区地下水DPAA汚染状況図

単位: $\mu\text{g-As/L}$



参考図2.4.9 2005年冬季(2~3月)ABトラック地下水DPAA汚染状況図

単位: $\mu\text{g-As/L}$

